# 2025年臺灣國際科學展覽會 優勝作品專輯

作品編號 010002

參展科別 數學

作品名稱 塗色次數期望值之研究

得獎獎項 二等獎

美國國際科技展覽會 ISEF

就讀學校 國立臺南第一高級中學

指導教師 陳盈言

作者姓名 王奕翔

吳昶佑

關鍵詞 期望值、遞迴關係式、最優化

# 作者簡介



我是王奕翔,目前就讀台南一中二年級數理資優班。從小我就對數學抱有深厚的熱忱,除了在課堂中鑽研數學,我也喜愛將數學應用於解決現實生活中的挑戰,並在這個過程中感受到它的無窮魅力,因此決定投入數學科展研究。在與夥伴一同解決問題的過程中,不僅培養思辨能力,更加深我對數學的熱忱。

我是吳昶佑,目前就讀台南一中二年級數理資優班。數學一直是我最感興趣的學科,它不僅教會我邏輯思考,更讓我體會到精確與耐心的重要性。我的性格開朗,喜歡和朋友分享自己的學習經驗,同時也樂於接受他人的建議和想法,這次參加國際科展,除了能夠展示自己在數學領域的探索,也希望能向其他同好學習,我相信這將是個寶貴的經驗。

# 2025 年臺灣國際科學展覽會 研究報告

區別:南區

科別:數學科

作品名稱:塗色次數期望值之研究

關鍵詞:期望值、遞迴關係式、最優化

編號:

(編號由國立臺灣科學教育館統一填列)

# 摘要

n個圓圈以一維排列所構成圖形中,若指定當中一圓圈塗色時,其左右相鄰圓圈各有 $\frac{1}{2}$ 機率被塗色,欲求出使得該圖形之指定塗色次數的期望值達最小之最優化塗色方法。本研究共探討了n個圓圈之「直線排列」、「環狀排列」與n個圓圈及m個圓圈之「環狀結合直線排列」等三種圖形。

研究中先由圖形的結構,找出各圖形之指定塗色次數期望值的遞迴關係式,進而求出生成函數及特徵方程式,由此推導出一般解。藉由一般解,配合複數的代數運算及幾何性質,先找出「直線排列」之最優化塗色方法,且同時發現「直線排列」與「環狀排列」之最優化塗色方法具有一致性,並進一步比較兩者間的異同之處。更發現 n 個圓圈及 m 個圓圈之「環狀結合直線排列」圖形之最優化塗色方法,會隨著 n 值、 m 值的不同而有不同的塗色方法之有趣現象。

### **Abstract**

In a one-dimensional arrangement of n circles, when one specific circle is colored, each of its adjacent circles has a one-half probability of being colored as well. This study seeks to determine the optimal coloring method that minimizes the expected value of the specified colorings for the given arrangement. We investigate three configurations: "linear arrangement," "circular arrangement," and "circular combined linear arrangement" involving n circles and m circles.

By deriving a recursive relationship based on the structure of each configuration, we develop the generating function and characteristic equation, leading to a comprehensive general solution. Employing algebraic operations on complex numbers and geometric properties, we unveil the optimal coloring method for the "linear arrangement," revealing a fascinating consistency between the optimal strategies for both the linear and circular arrangements. Furthermore, we highlight the intriguing phenomenon where the optimal coloring methods for the "circular combined linear arrangement" vary with different values of n and m.

# 膏、前言

### 一、研究動機

由國立臺灣科學教育館出版的《科學研習》月刊第60卷第6期中的一個專欄「森棚教官數學題」,裡面提到以下問題:

三歲的小玄喜歡拿蠟筆著色,因為年紀小,著色時常常不經意塗到形狀的外面。有一天,他要對圍成一圈的 6 個圓圈著色,爸爸先指定一個圓圈後,由小玄塗色。然而,除了這個圓圈一定會被塗色外,其左邊的圓圈有 1/2 的機率也會被染到顏色,右邊的圓圈也有1/2 的機率被染到顏色。

只要有染上顏色的圓圈就當作已經塗色了,接著爸爸再指定一個還沒染到顏色的圓圈 給小玄塗色,如此反覆一樣的行為。

平均來說,爸爸最少需要指定圓圈多少次,才能讓每個圓圈都被塗到色呢?(用數學的術語來說,就是問爸爸指定次數的期望值喔!)

我們對這個問題非常感興趣,於是開啟研究之路。

### 二、研究目的

- (-)探討n個圓圈直線排列之最優化的塗色方法及其指定塗色次數的期望值。
- $( \Box )$  探討n 個圓圈環狀排列之最優化的塗色方法及其指定塗色次數的期望值。
- (三)探討n個圓圈環狀排列與m個圓圈直線排列之最優化的塗色方法及其指定塗色次數的期望值。

# 貳、研究工具與研究方法

# 一、研究工具

紙、筆、電腦、Microsoft Office Word。

# 二、名詞解釋及符號定義

### (一)名詞解釋:

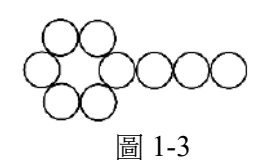
- 1. 圖形 G 之塗點: 是指圖形 G 中被指定塗色的圓圈。
- 2. 圖形G之最優化塗色方法:是指可使圖形G之指定塗色次數期望值達最小的塗色方法。

### (二)符號定義:

- 1. 圖形  $L_n$ :表示n 個圓圈直線排列而成的圖形,如下圖 1-1 為  $L_6$ 。
- 2. 圖形 $C_n$ :表示n個圓圈環狀排列而成的圖形,如下圖 1-2 為 $C_6$ 。
- 3. 圖形 $Q_{n,m}$ :表示n個圓圈環狀排列及m個圓圈直線排列而成的圖形,如下圖 1-3 為 $Q_{6,3}$ 。







4. E(G):表示圖形G之指定塗色次數的期望值。

5.  $E^*(G)$ :表示圖形G之指定塗色次數期望值的最小值。

6. E(G|g):表示圖形G中以圓圈g當第一個塗點之指定塗色次數的期望值。

7. Arg(z):表示複數 z 的幅角,且 $-\pi \le Arg(z) \le \pi$ 。

# 參、研究過程

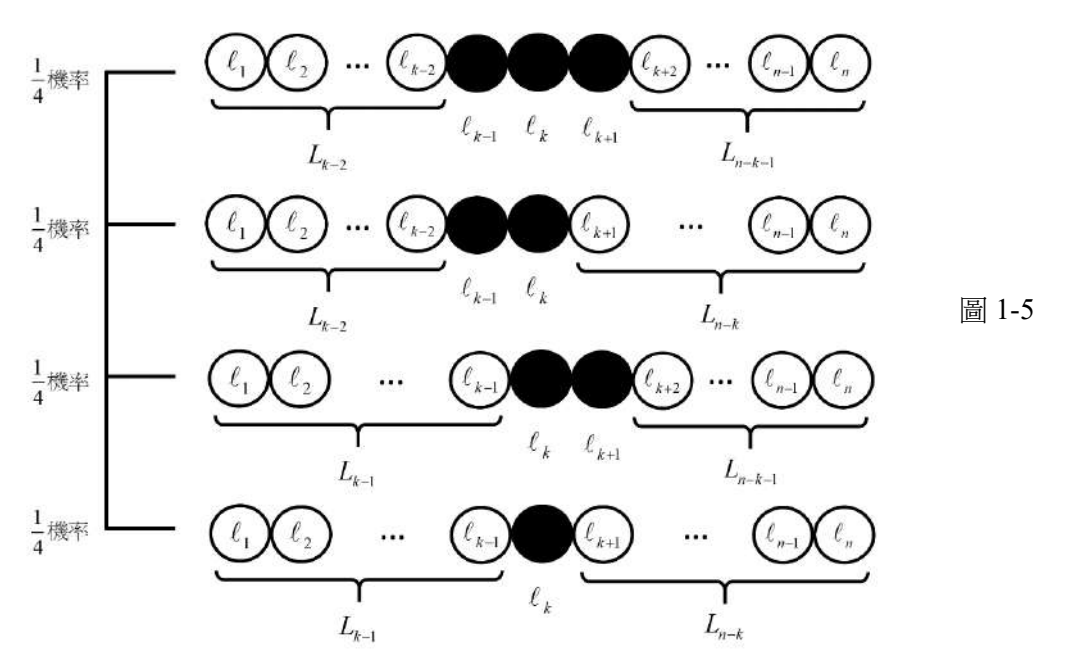
# 一、圖形 L<sub>n</sub>

# (-) 圖形 $L_n$ 的塗色方法

令圖形 $L_n$ 中之圓圈由左至右依序為 $\ell_1$ 、 $\ell_2$ 、 $\ell_3$ 、…、 $\ell_n$ ,如下圖 1-4。



現欲考慮圖形  $L_n$  中之第一個塗點圓圈  $\ell_k$  位置,因圖形對稱性,故僅需考量  $1 \le k \le [\frac{n+1}{2}]$  。 若選取圓圈  $\ell_k$  當第一塗點,可視為下圖 1-5:



故得以下關係式:  $E(L_n \mid \ell_k) = 1 + \frac{1}{2} (E(L_{k-2}) + E(L_{k-1}) + E(L_{n-k-1}) + E(L_{n-k}))$ 

### 【引理11】 $n \in \mathbb{N}$

$$E^*(L_1) = E(L_1 | \ell_1) \quad ; \quad E^*(L_2) = E(L_2 | \ell_1) = E(L_2 | \ell_2) \quad ; \quad 3 \le n \le 5 \quad , \quad E^*(L_n) = E(L_n | \ell_2)$$

### <證明>

$$\begin{split} n &= 1 \stackrel{\text{H}}{\to}^{\frac{1}{2}} \, \cdot \, E(L_1 \,|\, \ell_1) = 1 \quad \therefore E^*(L_1) = 1 \\ n &= 2 \stackrel{\text{H}}{\to}^{\frac{1}{2}} \, \cdot \, E(L_2 \,|\, \ell_1) = 1 + \frac{1}{2} E(L_1) \geq \frac{3}{2} \qquad \therefore E^*(L_2) = \frac{3}{2} \\ n &= 3 \stackrel{\text{H}}{\to}^{\frac{1}{2}} \, \cdot \, \begin{cases} E(L_3 \,|\, \ell_1) = 1 + \frac{1}{2} (E(L_1) + E(L_2)) \geq \frac{9}{4} \\ E(L_3 \,|\, \ell_2) = 1 + \frac{1}{2} (E(L_1) + E(L_1)) \geq 2 \end{cases} \\ n &= 4 \stackrel{\text{H}}{\to}^{\frac{1}{2}} \, \cdot \, \begin{cases} E(L_4 \,|\, \ell_1) = 1 + \frac{1}{2} (E(L_3) + E(L_2)) \geq \frac{11}{4} \\ E(L_4 \,|\, \ell_2) = 1 + \frac{1}{2} (2E(L_1) + E(L_2)) \geq \frac{11}{4} \end{cases} \\ E(L_5 \,|\, \ell_1) = 1 + \frac{1}{2} (E(L_4) + E(L_3)) \geq \frac{27}{8} \\ E(L_5 \,|\, \ell_2) = 1 + \frac{1}{2} (E(L_1) + E(L_2) + E(L_3)) \geq \frac{13}{4} \qquad \therefore E^*(L_5) = E(L_5 \,|\, \ell_2) = \frac{13}{4} \\ E(L_5 \,|\, \ell_3) = 1 + \frac{1}{2} (2E(L_1) + 2E(L_2)) \geq \frac{7}{2} \end{split}$$

### 【定理11】 n∈ ℕ

$$E(L_n|\ell_2) = \frac{7}{25} + \frac{3}{5}n + \lambda z^n + \overline{\lambda z^n}$$
  
(其中  $\lambda = \frac{-7+i}{50}$ ,  $z = \frac{-1+i}{2}$ ,  $\overline{\lambda}$  及  $\overline{z}$  為其共軛複數)

### <證明>

【引理 1\_2】 
$$t \in \mathbb{N}$$

若 
$$z = \frac{-1+i}{2}$$
,則  $Arg(1-z^t) \in [-\tan^{-1}\frac{1}{3}, \tan^{-1}\frac{1}{2}]$ 

### <證明>

$$z = \frac{-1+i}{2} = \frac{1}{\sqrt{2}} \left(\cos\frac{3\pi}{4} + i\sin\frac{3\pi}{4}\right) \implies z' = \left(\frac{1}{\sqrt{2}}\right)^{i} \left(\cos\frac{3t\pi}{4} + i\sin\frac{3t\pi}{4}\right)$$

(1) 
$$t = 8t'$$
,  $t' \in \mathbb{N} \cup \{0\}$ , 顯然  $Arg(1-z') = 0$ 

(2) 
$$t = 8t' + 1$$
,  $t' \in \mathbb{N} \cup \{0\}$   
由正弦定理 
$$\frac{|-z'|}{\sin \phi} = \frac{1}{\sin \left(\frac{\pi}{4} - \phi\right)}$$

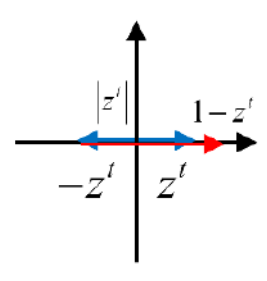
$$\Rightarrow \sin \phi = (\frac{1}{\sqrt{2}})^t (\frac{1}{\sqrt{2}}\cos \phi - \frac{1}{\sqrt{2}}\sin \phi)$$

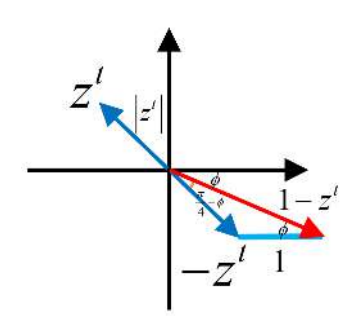
$$\Rightarrow \sin \phi = \frac{1}{2^{4t'+1}} \cos \phi - \frac{1}{2^{4t'+1}} \sin \phi$$

$$\Rightarrow (1+2^{4t'+1})\sin\phi = \cos\phi \Rightarrow \tan\phi = \frac{1}{2^{4t'+1}+1} \le \frac{1}{3}$$

$$\therefore 0 < \phi = \tan^{-1} \frac{1}{2^{4t'+1} + 1} \le \tan^{-1} \frac{1}{3}$$

$$\Rightarrow -\tan^{-1}\frac{1}{3} \le Arg(1-z^t) = -\phi < 0$$





(3) t=8t'+2、t=8t'+3、t=8t'+4、t=8t'+5、t=8t'+6、t=8t'+7, $t' \in \mathbb{N} \cup \{0\}$  同理可得如下表 1-1 之結果:

t 值	8t'	8t '+1
圖形	$\begin{vmatrix} z^t \\ -z^t \end{vmatrix} z^t$	$ \begin{array}{c c} z^t \\  z'  \\ -z^t & 1 \end{array} $
$Arg(1-z^t)$ 範圍	0	$[-\tan^{-1}\frac{1}{3},0)$
t 值	8t'+2	8t'+3
圖形	$ \begin{array}{c c} -z^t & 1 \\  &  z^i ^{\frac{\pi}{2-\phi}} & 1-z^t \\ \hline  & z^t \end{array} $	$ \begin{array}{c c}  & z^t \\ \hline  & z^t \\ \hline  & 1-z^t \end{array} $
$Arg(1-z^t)$ 範圍	$(0, \tan^{-1} \frac{1}{2}]$	$[-\tan^{-1}\frac{1}{3},0)$
t 值	8t'+4	8t'+5
圖形	$\begin{array}{c c} & & & & \\ \hline & & & & \\ \hline & & & & \\ \hline & & & &$	$-z^{t} \frac{1}{ z^{t} ^{\frac{3\pi}{4} + \phi}} 1 - z^{t}$
$Arg(1-z^t)$ 範圍	0	$(0, \tan^{-1} \frac{1}{7}]$

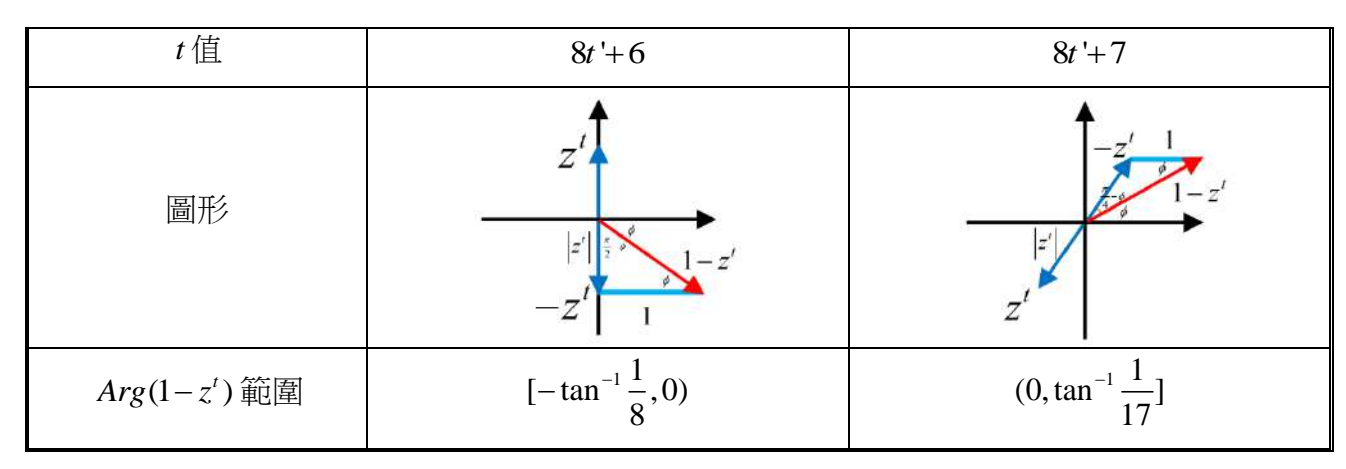


表 1-1

綜合上述討論, 
$$Arg(1-z^{t}) \in [-\tan^{-1}\frac{1}{3}, \tan^{-1}\frac{1}{2}]$$
  $t \ge 1$ 

【定理 1\_2】 
$$n \in \mathbb{N}$$
 ,  $n \ge 6$ 

$$E(L_n \mid \ell_2) \le E(L_n \mid \ell_k) \qquad (\sharp + 1 \le k \le \lfloor \frac{n+1}{2} \rfloor)$$

### <證明>

$$E(L_n | \ell_2) = 1 + \frac{1}{2} (E(L_1) + E(L_{n-3}) + E(L_{n-2}))$$

$$E(L_n | \ell_k) = 1 + \frac{1}{2} (E(L_{k-2}) + E(L_{k-1}) + E(L_{n-k-1}) + E(L_{n-k}))$$

**check**: 
$$1 + E(L_{n-2} | \ell_2) + E(L_{n-2} | \ell_2) \le E(L_{k-2} | \ell_2) + E(L_{k-1} | \ell_2) + E(L_{n-k-1} | \ell_2) + E(L_{n-k-1} | \ell_2)$$

(1) k = 1

定義 
$$E(L_{-1}|\ell_{2})=0$$
 ,  $E(L_{0}|\ell_{2})=0$  ,  $E(L_{1}|\ell_{2})=1$    
  $1+E(L_{n-3}|\ell_{2})+E(L_{n-2}|\ell_{2})-E(L_{-1}|\ell_{2})-E(L_{0}|\ell_{2})-E(L_{n-2}|\ell_{2})-E(L_{n-1}|\ell_{2})$   $=1+E(L_{n-3}|\ell_{2})-E(L_{n-1}|\ell_{2})$   $=1+\frac{3}{5}(n-3)+\lambda z^{n-3}+\overline{\lambda z^{n-3}}-\frac{3}{5}(n-1)-\lambda z^{n-1}-\overline{\lambda z^{n-1}}$  (由【定理 1\_1】) 
$$=-\frac{1}{5}+\lambda(1-z^{2})z^{n-3}+\overline{\lambda(1-z^{2})z^{n-3}}=-\frac{1}{5}+2\operatorname{Re}((\frac{-3-i}{20})z^{n-3})$$
  $\leq -\frac{1}{5}+2|(\frac{-3-i}{20})z^{n-3}|=-\frac{1}{5}+\frac{1}{\sqrt{10}}(\frac{1}{\sqrt{2}})^{n-3}<0$   $\therefore 1+E(L_{n-3}|\ell_{2})+E(L_{n-2}|\ell_{2})\leq E(L_{k-2}|\ell_{2})+E(L_{k-1}|\ell_{2})+E(L_{n-k-1}|\ell_{2})+E(L_{n-k-1}|\ell_{2})$ 

- (2) k=2 顯然成立
- $(3) \ k \ge 3$

$$1 + E(L_{n-3} | \ell_2) + E(L_{n-2} | \ell_2) - E(L_{k-2} | \ell_2) - E(L_{k-1} | \ell_2) - E(L_{n-k-1} | \ell_2) - E(L_{n-k-1} | \ell_2)$$

$$= E(L_0|\ell_2) + E(L_1|\ell_2) + E(L_{n-3}|\ell_2) + E(L_{n-2}|\ell_2) - E(L_{k-2}|\ell_2) - E(L_{k-1}|\ell_2) - E(L_{n-k-1}|\ell_2) - E(L_{n-k}|\ell_2)$$

$$= \lambda(z^0 + z + z^{n-2} + z^{n-3} - z^{k-2} - z^{k-1} - z^{n-k-1} - z^{n-k}) + \lambda(z^0 + z + z^{n-2} + z^{n-3} - z^{k-2} - z^{k-1} - z^{n-k-1} - z^{n-k})$$

$$= 2\operatorname{Re}(\lambda(1+z)(1-z^{k-2})(1-z^{n-k-1}))$$

$$\therefore \lambda(1+z) = \frac{-4-3i}{50} \quad \therefore \operatorname{Arg}(\lambda(1+z)) = -\pi + \tan^{-1}\frac{3}{4}$$

$$\qquad \qquad \text{由} \quad \begin{bmatrix} \exists | \mathbf{2l} \mathbf{1}_{-2} \end{bmatrix} \text{ for } \operatorname{Arg}(1-z') \in [-\tan^{-1}\frac{1}{3}, \tan^{-1}\frac{1}{2}] \qquad (t \ge 1)$$

$$\therefore -\pi + \tan^{-1}\frac{3}{4} - 2\tan^{-1}\frac{1}{3} \le \operatorname{Arg}(\lambda(1+z)(1-z^{k-2})(1-z^{n-k-1})) \le -\pi + \tan^{-1}\frac{3}{4} + 2\tan^{-1}\frac{1}{2}$$

$$\therefore \tan^{-1}\frac{3}{4} + 2\tan^{-1}\frac{1}{2} = \frac{\pi}{2} \quad \therefore \operatorname{Re}(\lambda(1+z)(1-z^{k-2})(1-z^{n-k-1})) \le 0$$

$$\therefore 1 + E(L_{n-3}|\ell_2) + E(L_{n-2}|\ell_2) \le E(L_{k-2}|\ell_2) + E(L_{k-1}|\ell_2) + E(L_{n-k-1}|\ell_2) + E(L_{n-k}|\ell_2)$$

$$\qquad \qquad \text{d} \quad (1) \quad (2) \quad (3) \quad \text{for } \quad E(L_n|\ell_2) \le E(L_n|\ell_k)$$

### 由【引理 $1_1$ 】及【定理 $1_2$ 】可得到圖形 L 最優化塗色方法,即【定理 $1_3$ 】。

### 【定理1\_3】

圖形  $L_n$  最優化塗色方法:  $L_1$  之第一個塗點為圓圈  $\ell_1$  ;  $n \ge 2$  ,  $L_n$  之第一個塗點為圓圈  $\ell_2$  ,塗色後隔開的  $L_1$  、  $L_{n-3}$  或  $L_{n-2}$  再依此模式接續塗色。

接下來我們將推導 $E^*(L_n)$ 的一般項 (n值模 8 之同餘類):

【推論 1\_1 
$$n \in \mathbb{N}$$

$$\frac{7}{25} + \frac{3}{5}n + \frac{3}{25}(\frac{1}{\sqrt{2}})^{n-1} \quad (n \equiv 1 \mod 8)$$

$$\frac{7}{25} + \frac{3}{5}n + \frac{\sqrt{2}}{50}(\frac{1}{\sqrt{2}})^{n-1} \quad (n \equiv 2 \mod 8)$$

$$\frac{7}{25} + \frac{3}{5}n - \frac{4}{25}(\frac{1}{\sqrt{2}})^{n-1} \quad (n \equiv 3 \mod 8)$$

$$E^*(L_n) = \begin{cases}
\frac{7}{25} + \frac{3}{5}n + \frac{7\sqrt{2}}{50}(\frac{1}{\sqrt{2}})^{n-1} & (n \equiv 4 \mod 8) \\
\frac{7}{25} + \frac{3}{5}n - \frac{3}{25}(\frac{1}{\sqrt{2}})^{n-1} & (n \equiv 5 \mod 8)
\end{cases}$$

$$\frac{7}{25} + \frac{3}{5}n - \frac{\sqrt{2}}{50}(\frac{1}{\sqrt{2}})^{n-1} \quad (n \equiv 6 \mod 8)$$

$$\frac{7}{25} + \frac{3}{5}n + \frac{4}{25}(\frac{1}{\sqrt{2}})^{n-1} \quad (n \equiv 7 \mod 8)$$

$$\frac{7}{25} + \frac{3}{5}n - \frac{7\sqrt{2}}{50}(\frac{1}{\sqrt{2}})^{n-1} \quad (n \equiv 7 \mod 8)$$

### <證明>

根據【定理 1\_1】, 
$$E(L_n|\ell_2) = \frac{7}{25} + \frac{3}{5}n + \lambda z^n + \overline{\lambda z^n} = \frac{7}{25} + \frac{3}{5}n + 2\operatorname{Re}(\lambda z^n)$$

(1)  $n \equiv 1 \pmod{8}$ 

$$2\operatorname{Re}(\lambda z^{n}) = 2\operatorname{Re}((\frac{-7+i}{50})(\frac{1}{\sqrt{2}})^{n}(\cos\frac{3\pi}{4}+i\sin\frac{3\pi}{4})) = \frac{3}{25}(\frac{1}{\sqrt{2}})^{n-1}$$

$$\Rightarrow E^{*}(L_{n}) = \frac{7}{25} + \frac{3}{5}n + \frac{3}{25}(\frac{1}{\sqrt{2}})^{n-1}$$

(2)  $n \equiv 2 \pmod{8}$ 

$$2\operatorname{Re}(\lambda z^{n}) = 2\operatorname{Re}((\frac{-7+i}{50})(\frac{1}{\sqrt{2}})^{n}(\cos\frac{3\pi}{2}+i\sin\frac{3\pi}{2})) = \frac{\sqrt{2}}{50}(\frac{1}{\sqrt{2}})^{n-1}$$

$$\Rightarrow E^{*}(L_{n}) = \frac{7}{25} + \frac{3}{5}n + \frac{\sqrt{2}}{50}(\frac{1}{\sqrt{2}})^{n-1}$$

 $n \equiv 3 \cdot n \equiv 4 \cdot n \equiv 5 \cdot n \equiv 6 \cdot n \equiv 7 \cdot n \equiv 0 \pmod{8}$  同理可得

 $n=1\sim15$  的  $E^*(L_n)$  值,如下表 1-2:

$L_{n}$	$L_{1}$	$L_2$	$L_3$	$L_4$	$L_{5}$	$L_6$	$L_7$	$L_8$	$L_9$	$L_{10}$	$L_{11}$	$L_{12}$	$L_{13}$	$L_{_{14}}$	$L_{15}$
$E^*(L_n)$	1	$\frac{3}{2}$	2	$\frac{11}{4}$	13 4	$\frac{31}{8}$	$\frac{9}{2}$	$\frac{81}{16}$	$\frac{91}{16}$	$\frac{201}{32}$	$\frac{55}{8}$	479 64	$\frac{517}{64}$	$\frac{1111}{128}$	297 32

### (二) $E^*(L_n)$ 的生成函數

若將  $E^*(L_1)$  、  $E^*(L_2)$  、  $E^*(L_3)$  … 之值視為數列 <  $a_n >_1^{\infty} = <1, \frac{3}{2}, 2, \frac{11}{4}, \frac{13}{4}, \frac{31}{8}, \frac{9}{2}$  … > ,考慮 生成函數時,增加  $a_0 = 0$  ,形成數列 <  $a_n >_0^{\infty} = <0, 1, \frac{3}{2}, 2, \frac{11}{4}, \frac{13}{4}, \frac{31}{8}, \frac{9}{2}$  … > ,關於數列 <  $a_n >_0^{\infty}$  ,  $f(x) = \sum_{k=0}^{\infty} a_k x^k$  稱為 <  $a_n >_0^{\infty}$  的一般生成函數。

# 【定理14】

若函數 
$$f(x)$$
 為  $E^*(L_n)$  的生成函數,則  $f(x) = \frac{x^2 + 2x}{(x-1)^2(x^2 + 2x + 2)}$ 。

### <證明>

# (三)圖形 L, 最優化塗色方法之性質

接下來,我們將進一步探討在最優化的塗色方法下,圖形 $L_n$ 中每個圓圈 $\ell_k$ 的塗色次數期望值與k之關係。由【定理  $1_2$ 】知, $\ell_n$ 最優化塗色方法是以圓圈 $\ell_2$ 當第一個塗點,之後由左而右依序每相鄰兩個未被塗色圓圈再設一塗點,直到圓圈 $\ell_n$ 。

定義:存在相鄰兩個未被塗色圓圈狀態下,圓圈 $\ell_k$ 被選取當塗點的機率為 $P_k$ 。

# 【定理 1\_5】 n≥2

(1)滿足
$$P_k$$
的遞迴關係式:
$$\begin{cases} P_1 = 0, P_2 = 1, P_3 = 0 \\ P_k = \frac{1}{2}P_{k-3} + \frac{1}{2}P_{k-2} \end{cases} \quad 4 \le k < n$$

(2) 滿足
$$P_k$$
的遞迴關係式: 
$$\begin{cases} P_1 = 0, P_2 = 1 \\ \frac{1}{2}P_{k-2} + P_{k-1} + P_k = 1 \end{cases}$$
  $3 \le k < n$ 

(3) 
$$P_k = \frac{2}{5} + \delta z^k + \overline{\delta z^k}$$
 (其中  $\delta = \frac{-1+3i}{5}$ ,  $z = \frac{-1+i}{2}$ ,  $\overline{\delta}$  及  $\overline{z}$  為其共軛複數)

### <證明>

圖形 $L_n$ 最優化塗色方法是以圓圈 $\ell_2$ 當第一塗點,故 $P_1 = 0$ 、 $P_2 = 1$ 、 $P_3 = 0$ 

- (1) 若圓圈  $\ell_k$  被選取當塗點,此時必處於圓圈  $\ell_{k-2}$  已塗色且圓圈  $\ell_{k-1}$  未塗色之模式,而此模式有兩種可能:
  - ①以圓圈 $\ell_{k-2}$ 當塗點(機率為 $P_{k-2}$ )且圓圈 $\ell_{k-1}$ 有 $\frac{1}{2}$ 機率未被塗色
  - ②以圓圈 $\ell_{k-3}$ 當塗點(機率為 $P_{k-3}$ )且圓圈 $\ell_{k-2}$ 有 $\frac{1}{2}$ 機率被塗色
  - $:: ①②為互斥事件 : :: P_k = \frac{1}{2}P_{k-3} + \frac{1}{2}P_{k-2}$
- (2) 圓圈 ℓ, 不被選取當塗點的情形有兩種:
  - ①以圓圈  $\ell_{k-1}$  當塗點 (機率為  $P_{k-1}$  ),此時不論圓圈  $\ell_k$  是否被塗色,接下來  $\ell_k$  皆不會被選取當塗點。
  - ②以圓圈 $\ell_{k-2}$ 當塗點(機率為 $P_{k-2}$ ),圓圈 $\ell_{k-1}$ 有 $\frac{1}{2}$ 機率被塗色,此時 $\ell_k$ 不會被選取當塗點。

$$:: ①②為互斥事件 : 1-P_k = \frac{1}{2}P_{k-2} + P_{k-1} \Rightarrow \frac{1}{2}P_{k-2} + P_{k-1} + P_k = 1$$

(3) 由 (1) 
$$P_k = \frac{1}{2}P_{k-3} + \frac{1}{2}P_{k-2}$$
 為齊次線性遞迴關係式,

可改寫為
$$x^n = \frac{1}{2}x^{n-2} + \frac{1}{2}x^{n-3}$$
兩邊同除以 $x^{n-3}$  得

$$2x^3 - x - 1 = 0$$
 為  $P_k$  的特徵方程式  $\Rightarrow x = 1 \cdot \frac{-1 + i}{2} \cdot \frac{-1 - i}{2}$ 

$$\therefore P_k = \delta_1 \cdot 1^k + \delta_2 \left(\frac{-1+i}{2}\right)^k + \delta_3 \left(\frac{-1-i}{2}\right)^k \qquad (其中 \delta_1 \cdot \delta_2 \cdot \delta_3 為常數)$$

將
$$P_1 = 0$$
 , $P_2 = 1$  , $P_3 = 0$ 代入得 $\delta_1 = \frac{2}{5}$  , $\delta_2 = \frac{-1+3i}{5}$  , $\delta_3 = \frac{-1-3i}{5}$ 

$$\therefore P_k = \frac{2}{5} + \delta z^k + \overline{\delta z^k} \qquad (\sharp \psi \delta = \frac{-1+3i}{5} ; z = \frac{-1+i}{2})$$

由【定理  $1_5$ 】之(3)可推導出 $P_k$ 的一般項(k值模 8之同餘類):

【推論 1\_2】 
$$1 \le k < n$$

$$\begin{cases}
\frac{2}{5} - \frac{\sqrt{2}}{5} \left(\frac{1}{\sqrt{2}}\right)^{k-2} & (k \equiv 1 \mod 8) \\
\frac{2}{5} + \frac{3}{5} \left(\frac{1}{\sqrt{2}}\right)^{k-2} & (k \equiv 2 \mod 8) \\
\frac{2}{5} - \frac{2\sqrt{2}}{5} \left(\frac{1}{\sqrt{2}}\right)^{k-2} & (k \equiv 3 \mod 8) \\
\frac{2}{5} + \frac{1}{5} \left(\frac{1}{\sqrt{2}}\right)^{k-2} & (k \equiv 4 \mod 8) \\
\frac{2}{5} + \frac{\sqrt{2}}{5} \left(\frac{1}{\sqrt{2}}\right)^{k-2} & (k \equiv 5 \mod 8) \\
\frac{2}{5} - \frac{3}{5} \left(\frac{1}{\sqrt{2}}\right)^{k-2} & (k \equiv 6 \mod 8) \\
\frac{2}{5} + \frac{2\sqrt{2}}{5} \left(\frac{1}{\sqrt{2}}\right)^{k-2} & (k \equiv 7 \mod 8) \\
\frac{2}{5} - \frac{1}{5} \left(\frac{1}{\sqrt{2}}\right)^{k-2} & (k \equiv 0 \mod 8)
\end{cases}$$

<證明>

$$P_k = \frac{2}{5} + \delta z^k + \overline{\delta z^k} = \frac{2}{5} + 2\operatorname{Re}(\delta z^k)$$

(1)  $n \equiv 1 \pmod{8}$ 

$$2\operatorname{Re}(\delta z^{k}) = 2\operatorname{Re}((\frac{-1+3i}{5})(\frac{1}{\sqrt{2}})^{k}(\cos\frac{3\pi}{4} + i\sin\frac{3\pi}{4})) = -\frac{\sqrt{2}}{5}(\frac{1}{\sqrt{2}})^{k-2} \implies P_{k} = \frac{2}{5} - \frac{\sqrt{2}}{5}(\frac{1}{\sqrt{2}})^{k-2}$$

 $(2) \quad n \equiv 2 \pmod{8}$ 

$$2\operatorname{Re}(\delta z^{k}) = 2\operatorname{Re}((\frac{-1+3i}{5})(\frac{1}{\sqrt{2}})^{k}(\cos\frac{3\pi}{2} + i\sin\frac{3\pi}{2})) = \frac{3}{5}(\frac{1}{\sqrt{2}})^{k-2} \implies P_{k} = \frac{2}{5} + \frac{3}{5}(\frac{1}{\sqrt{2}})^{k-2}$$

 $n \equiv 3$ 、 $n \equiv 4$ 、 $n \equiv 5$ 、 $n \equiv 6$ 、 $n \equiv 7$ 、 $n \equiv 0 \pmod{8}$  同理可得

由【推論 1\_2】可知,隨著 k 值增加,圓圈  $\ell_k$  被指定當塗點的機率趨近於  $\frac{2}{5}$  。下表 1-3 列出 k=1 ~ 15 的圓圈  $\ell_k$  之  $P_k$  值:

k	1	2	3	4	5	6	7	8	9	10	11	12	13	14	15
$P_k$	0	1	0	$\frac{1}{2}$	$\frac{1}{2}$	$\frac{1}{4}$	$\frac{1}{2}$	3/8	$\frac{3}{8}$	$\frac{7}{16}$	$\frac{3}{8}$	$\frac{13}{32}$	$\frac{13}{32}$	$\frac{25}{64}$	$\frac{13}{32}$

### 【性質11】

 $(1) P_2 = 1$ 

### <證明>

(1):圓圈  $\ell_2$ 為圖形  $L_n$ 之第一塗點  $\therefore P_2 = 1$ 

(2) :【推論 1\_2】中的 $(\frac{1}{\sqrt{2}})^{k-2}$  隨 k 值增加而遞減,

 $\therefore P_k$ 之最大值與最小值,只需考慮 $1 \le k \le 8$ ,但 $k \ne 2$ 

當k=1或 3 時, $P_k$ 有最小值 0 ; 當k=4或 5 或 7 時, $P_k$ 有最大值  $\frac{1}{2}$ 。

圓圈  $\ell_1$ 、  $\ell_3$ 與第一個塗點  $\ell_2$ 相鄰,故在以相鄰兩個未被塗色圓圈條件下,選擇圓圈  $\ell_1$ 及  $\ell_3$  當塗點的機率為 0。至於其他圓圈被選取當塗點的機率皆不超過  $\frac{1}{2}$  ,而且僅圓圈  $\ell_4$ 、  $\ell_5$  及  $\ell_7$  被 選取當塗點的機率可達最大值  $\frac{1}{2}$  。

換個方式,我們從組合的觀點來看 $P_k$ 值。

### 【定理1\_6】

 $\diamondsuit P_k$  為圓圈  $\ell_k$  被選取當塗點的機率 (  $1 \! \leq \! k \! < \! n$  ,  $0 \! \leq \! P_k \! \leq \! 1$  ),則

$$P_k = \sum_{3t_1 + 2t_2 = k - 2} C_{t_1}^{t_1 + t_2} (\frac{1}{2})^{t_1 + t_2}$$

### <證明>

若圓圈  $\ell_k$  當塗點,此時必處於  $\ell_{k-2}$  被塗黑,  $\ell_{k-1}$  未被塗黑之模式,而此模式可視為從  $1\times3$  〇●● 或 $1\times2$  ○● 兩種骨牌選取,每種骨牌被取到的機率皆為  $\frac{1}{2}$  ,之後將骨牌從圓圈  $\ell_1$  開始,由左而右以不旋轉且不翻轉方式依序覆蓋至圓圈  $\ell_{k-2}$  為止,而此機率為

$$\sum_{3t_1+2t_2=k-2} C_{t_1}^{t_1+t_2} (\frac{1}{2})^{t_1+t_2} \quad \text{, iff } P_k = \sum_{3t_1+2t_2=k-2} C_{t_1}^{t_1+t_2} (\frac{1}{2})^{t_1+t_2} \quad \circ$$

以圓圈ℓ₁9為例:

$$\ell_{19}$$
被選擇當塗點機率為  $\sum_{3t_1+2t_2=17} C_{t_1}^{t_1+t_2} (\frac{1}{2})^{t_1+t_2} = C_1^8 (\frac{1}{2})^8 + C_3^7 (\frac{1}{2})^7 + C_5^6 (\frac{1}{2})^6 = \frac{51}{128}$ 

### 【定理17】 n≥3

令 $E(\ell_k)$ 為圓圈 $\ell_k$ 之塗色次數期望值,則

$$E(\ell_2) = 1 , E(\ell_1) = \frac{1}{2} ; E(\ell_k) = \frac{1}{4} P_{k-2} + \frac{1}{4} P_{k-1} + P_k \quad 3 \le k < n ;$$

$$E(\ell_n) = \frac{1}{2} P_{n-3} + P_{n-2} + \frac{1}{2} P_{n-1}$$

### <證明>

- (1) 圖形 $L_n$ 中,以圓圈 $\ell_2$ 當第一個塗點,顯然 $E(\ell_2)=1$ ,且此時圓圈 $\ell_1$ 各有 $\frac{1}{2}$ 機率被塗色或未被塗色,故 $E(\ell_1)=\frac{1}{2}$ 。
- (2) 當 $3 \le k < n$ 時,考慮圓圈 $\ell_k$ 尚需一次塗色的情形:
  - $1^{\circ}$  若圓圈 $\ell_{\iota}$ 當塗點 (機率為 $P_{\iota}$ ),此時 $\ell_{\iota}$ 需一次塗色
  - 2°若圓圈 $\ell_k$ 不當塗點,此時必處於圓圈 $\ell_{k-1}$ 已塗色但圓圈 $\ell_k$ 未塗色之模式,而此模式有兩種可能:
    - ①以圓圈 $\ell_{k-1}$ 當塗點(機率為 $P_{k-1}$ )且圓圈 $\ell_k$ 有 $\frac{1}{2}$ 機率未被塗色
    - ②以圓圈 $\ell_{k-2}$ 當塗點(機率為 $P_{k-2}$ )且圓圈 $\ell_{k-1}$ 有 $\frac{1}{2}$ 機率被塗色

以上 $\mathbb{O}$ ②情形,圓圈 $\ell_{k+1}$ 皆會被選取當塗點,且圓圈 $\ell_k$ 有 $\frac{1}{2}$ 機率未被塗色,故此時  $\ell_k$ 尚需一次塗色。

曲1°&2°知,
$$E(\ell_k) = P_k + \frac{1}{2}(\frac{1}{2}P_{k-1} + \frac{1}{2}P_{k-2}) = \frac{1}{4}P_{k-2} + \frac{1}{4}P_{k-1} + P_k$$

- (3) 考慮圓圈 ℓ, 尚需一次塗色的情形:
  - 1°若圓圈 $\ell_{n-1}$ 當塗點(機率為 $P_{n-1}$ )且圓圈 $\ell_n$ 有 $\frac{1}{2}$ 機率未被塗色,此時 $\ell_n$ 尚需一次塗色。
  - 2°若圓圈 $\ell_{n-2}$ 當塗點(機率為 $P_{n-2}$ ),此時圓圈 $\ell_n$ 皆需一次塗色。
  - 3° 若圓圈  $\ell_{n-3}$  當塗點 (機率為  $P_{n-3}$  ),且圓圈  $\ell_{n-2}$  有 $\frac{1}{2}$  機率被塗色,此時  $\ell_n$  尚需一次 塗色。

曲1°、2°&3°知,
$$E(\ell_n) = \frac{1}{2}P_{n-3} + P_{n-2} + \frac{1}{2}P_{n-1}$$

將**【推論 1\_2**】的結果代入**【定理 1\_7**】的遞迴關係式,可分別得到 $E(\ell_k)$ 及 $E(\ell_n)$ 的一般項(k值、n值模 8 之同餘類),即**【推論 1 3**】。

[推論1.3] 
$$n \ge 3$$
  $3 \le k < n$ 

$$E(\ell_1) = \frac{1}{2}, E(\ell_2) = 1$$

$$\begin{pmatrix} \frac{3}{5} - \frac{7}{5\sqrt{2}} (\frac{1}{\sqrt{2}})^k & (k \equiv 3 \mod 8) \\ \frac{3}{5} + \frac{3}{5} (\frac{1}{\sqrt{2}})^k & (k \equiv 4 \mod 8) \end{pmatrix}$$

$$\frac{3}{5} + \frac{3}{5} (\frac{1}{\sqrt{2}})^k & (k \equiv 5 \mod 8) \end{pmatrix}$$

$$E(\ell_k) = \begin{cases} \frac{3}{5} - \frac{4}{5} (\frac{1}{\sqrt{2}})^k & (k \equiv 6 \mod 8) \end{bmatrix}$$

$$\frac{3}{5} - \frac{4}{5} (\frac{1}{\sqrt{2}})^k & (k \equiv 7 \mod 8) \end{cases}$$

$$\frac{3}{5} - \frac{3}{5} (\frac{1}{\sqrt{2}})^k & (k \equiv 0 \mod 8) \end{cases}$$

$$\frac{3}{5} - \frac{1}{5\sqrt{2}} (\frac{1}{\sqrt{2}})^k & (k \equiv 1 \mod 8) \end{cases}$$

$$\frac{3}{5} - \frac{1}{5\sqrt{2}} (\frac{1}{\sqrt{2}})^k & (k \equiv 2 \mod 8) \end{cases}$$

$$\frac{3}{5} + \frac{4}{5} (\frac{1}{\sqrt{2}})^{k} & (k \equiv 2 \mod 8) \end{cases}$$

$$\frac{4}{5} + \frac{3}{20} (\frac{1}{\sqrt{2}})^{n-5} & (n \equiv 3 \mod 8) \end{cases}$$

$$\frac{4}{5} - \frac{1}{10} (\frac{1}{\sqrt{2}})^{n-5} & (n \equiv 4 \mod 8) \end{cases}$$

$$E(\ell_n) = \begin{cases} \frac{4}{5} - \frac{3}{20} (\frac{1}{\sqrt{2}})^{n-5} & (n \equiv 6 \mod 8) \end{cases}$$

$$\frac{4}{5} + \frac{3}{20} (\frac{1}{\sqrt{2}})^{n-5} & (n \equiv 6 \mod 8) \end{cases}$$

$$\frac{4}{5} + \frac{3}{20} (\frac{1}{\sqrt{2}})^{n-5} & (n \equiv 6 \mod 8) \end{cases}$$

$$\frac{4}{5} - \frac{1}{10} (\frac{1}{\sqrt{2}})^{n-5} & (n \equiv 6 \mod 8) \end{cases}$$

$$\frac{4}{5} - \frac{1}{10} (\frac{1}{\sqrt{2}})^{n-5} & (n \equiv 6 \mod 8) \end{cases}$$

$$\frac{4}{5} + \frac{1}{20} (\frac{1}{\sqrt{2}})^{n-5} & (n \equiv 0 \mod 8) \end{cases}$$

$$\frac{4}{5} + \frac{1}{20} (\frac{1}{\sqrt{2}})^{n-5} & (n \equiv 0 \mod 8) \end{cases}$$

$$\frac{4}{5} + \frac{1}{20} (\frac{1}{\sqrt{2}})^{n-5} & (n \equiv 0 \mod 8) \end{cases}$$

$$\frac{4}{5} + \frac{1}{20} (\frac{1}{\sqrt{2}})^{n-5} & (n \equiv 1 \mod 8) \end{cases}$$

 $k=1\sim15$ 的 $E(\ell_k)$ 值,如下表 1-4:

Ī	$\ell_k$	$\ell_1$	$\ell_2$	$\ell_3$	$\ell_4$	$\ell_{5}$	$\ell_6$	$\ell_7$	$\ell_8$	$\ell_9$	$\ell_{10}$	$\ell_{11}$	$\ell_{12}$	$\ell_{13}$	$\ell_{14}$	$\ell_{15}$
	$E(\ell_k)$	$\frac{1}{2}$	1	$\frac{1}{4}$	$\frac{3}{4}$	$\frac{5}{8}$	$\frac{1}{2}$	$\frac{11}{16}$	$\frac{9}{16}$	$\frac{19}{32}$	$\frac{5}{8}$	37 64	39 64	$\frac{77}{128}$		$\frac{155}{256}$

表 1-4

 $k=1\sim15$ 的 $E(\ell_n)$ 值,如下表 1-5:

	$\ell_n$	$\ell_1$	$\ell_2$	$\ell_3$	$\ell_4$	$\ell_{5}$	$\ell_6$	$\ell_7$	$\ell_8$	$\ell_9$	$\ell_{10}$	$\ell_{11}$	$\ell_{12}$	$\ell_{13}$	$\ell_{14}$	$\ell_{15}$
1	$E(\ell_n)$	1	1	$\frac{1}{2}$	1	$\frac{3}{4}$	$\frac{3}{4}$	$\frac{7}{8}$	$\frac{3}{4}$	$\frac{13}{16}$	$\frac{13}{16}$	$\frac{25}{32}$	$\frac{13}{16}$	$\frac{51}{64}$	$\frac{51}{64}$	$\frac{103}{128}$

表 1-5

### 【性質 1\_2】

$$E(\ell_2) = 1$$
 ;  $\frac{1}{4} \le E(\ell_k) \le \frac{3}{4}$   $1 \le k < n$  ,  $\biguplus k \ne 2$ 

### <證明>

- $\therefore$  【推論 1\_3】中的 $(\frac{1}{\sqrt{2}})^k$  随 k 值增加而遞減,
- $\therefore E(\ell_k)$ 之最大值與最小值,只需考慮 $3 \le k \le 10$ ,又 $E(\ell_1) = \frac{1}{2}$ ,

當 
$$k=3$$
時,  $E(\ell_k)=\frac{1}{4}$ 有最小值 ; 當  $k=4$ 時,  $E(\ell_k)=\frac{3}{4}$ 有最大值

由【**性質 1\_2**】知,撇除當第一個塗點的圓圈  $\ell_2$ 外,圖形  $L_n$  中各圓圈平均塗色次數,以圓圈  $\ell_4$ 最多,為  $\frac{3}{4}$  次,以圓圈  $\ell_3$ 最少,為  $\frac{1}{4}$  次。

# 二、圖形 $C_n$

# 【定理 2\_1】 $n \in \mathbb{N}$ , $n \ge 3$

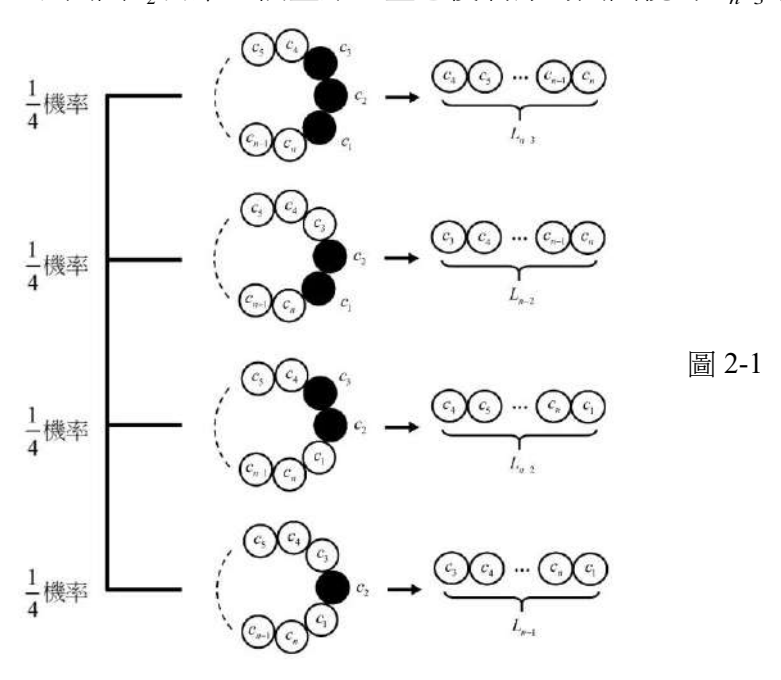
(1) 
$$E^*(C_n) = 1 + \frac{1}{4}E^*(L_{n-3}) + \frac{1}{2}E^*(L_{n-2}) + \frac{1}{4}E^*(L_{n-1})$$

(2) 
$$E^*(C_n) = \frac{2}{25} + \frac{3}{5}n + \frac{1}{4}(\lambda(z+1)^2 z^{n-3} + \overline{\lambda(z+1)^2 z^{n-3}})$$

$$(其中 \lambda = \frac{-7+i}{50}, z = \frac{-1+i}{2}, \overline{\lambda} \, \overline{\zeta} \, \overline{\lambda} \, \overline{\lambda} \, \overline{\zeta} \, \overline{\lambda}$$
 為其共軛複數)

### <證明>

(1)因對稱性,故圖形 $C_n$ 不論哪一個圓圈當第一個塗點,結果皆相同。不失一般性,以圓圈 $c_2$ 當第一個塗點,塗色後剩餘的圓圈視為 $L_{n-3}$ 或 $L_{n-2}$ 或 $L_{n-1}$ ,如下圖 2-1:



故 
$$E^*(C_n) = 1 + \frac{1}{4}E^*(L_{n-3}) + \frac{1}{2}E^*(L_{n-2}) + \frac{1}{4}E^*(L_{n-1})$$

(2) 由【定理1\_2】知:

$$\begin{split} E^*(C_n) = & 1 + \frac{1}{4} (\frac{7}{25} + \frac{3}{5}(n-3) + \lambda z^{n-3} + \overline{\lambda z^{n-3}}) + \frac{1}{2} (\frac{7}{25} + \frac{3}{5}(n-2) + \lambda z^{n-2} + \overline{\lambda z^{n-2}}) \\ & + \frac{1}{4} (\frac{7}{25} + \frac{3}{5}(n-1) + \lambda z^{n-1} + \overline{\lambda z^{n-1}}) = \frac{2}{25} + \frac{3}{5}n + \frac{1}{4} (\lambda (z+1)^2 z^{n-3} + \overline{\lambda (z+1)^2 z^{n-3}}) \end{split}$$

有了遞迴關係式,即可推導 $E^*(C_n)$ 的一般項(n值模8之同餘類):

【推論 2\_1】 
$$n \in \mathbb{N}$$
 ,  $n \ge 3$ 

$$\begin{cases}
\frac{2}{25} + \frac{3}{5}n - \frac{1}{50\sqrt{2}}(\frac{1}{\sqrt{2}})^n & (n = 3 \mod 8) \\
\frac{2}{25} + \frac{3}{5}n + \frac{2}{25}(\frac{1}{\sqrt{2}})^n & (n = 4 \mod 8) \\
\frac{2}{25} + \frac{3}{5}n - \frac{7}{50\sqrt{2}}(\frac{1}{\sqrt{2}})^n & (n = 5 \mod 8) \\
\frac{2}{25} + \frac{3}{5}n + \frac{3}{50}(\frac{1}{\sqrt{2}})^n & (n = 6 \mod 8) \\
\frac{2}{25} + \frac{3}{5}n + \frac{1}{50\sqrt{2}}(\frac{1}{\sqrt{2}})^n & (n = 7 \mod 8) \\
\frac{2}{25} + \frac{3}{5}n - \frac{2}{25}(\frac{1}{\sqrt{2}})^n & (n = 0 \mod 8) \\
\frac{2}{25} + \frac{3}{5}n + \frac{7}{50\sqrt{2}}(\frac{1}{\sqrt{2}})^n & (n = 1 \mod 8) \\
\frac{2}{25} + \frac{3}{5}n - \frac{3}{50}(\frac{1}{\sqrt{2}})^n & (n = 2 \mod 8)
\end{cases}$$

### <證明>

$$E^{*}(C_{n}) = \frac{2}{25} + \frac{3}{5}n + \frac{1}{4}(\lambda(z+1)^{2}z^{n-3} + \overline{\lambda(z+1)^{2}z^{n-3}}) = \frac{2}{25} + \frac{3}{5}n + \frac{1}{2}\operatorname{Re}(\lambda(z+1)^{2}z^{n-3})$$
(1)  $n \equiv 1 \pmod{8}$ 

$$\frac{1}{2}\operatorname{Re}(\lambda(z+1)^{2}z^{n-3}) = \frac{1}{2}\operatorname{Re}((\frac{-7+i}{50})(\frac{i}{2})(\frac{1}{\sqrt{2}})^{n-3}(\cos{\frac{\pi}{2}} + i\sin{\frac{\pi}{2}})) = \frac{7}{50\sqrt{2}}(\frac{1}{\sqrt{2}})^{n}$$

$$\Rightarrow E^{*}(C_{n}) = \frac{2}{25} + \frac{3}{5}n + \frac{7}{50\sqrt{2}}(\frac{1}{\sqrt{2}})^{n}$$
(2)  $n \equiv 2 \pmod{8}$ 

$$\frac{1}{2}\operatorname{Re}(\lambda(z+1)^{2}z^{n-3}) = \frac{1}{2}\operatorname{Re}((\frac{-7+i}{50})(\frac{i}{2})(\frac{1}{\sqrt{2}})^{n-3}(\cos{\frac{5\pi}{4}} + i\sin{\frac{5\pi}{4}})) = \frac{-3}{50}(\frac{1}{\sqrt{2}})^{n}$$

$$\Rightarrow E^{*}(C_{n}) = \frac{2}{25} + \frac{3}{5}n - \frac{3}{50}(\frac{1}{\sqrt{2}})^{n}$$

$$n \equiv 3 \cdot n \equiv 4 \cdot n \equiv 5 \cdot n \equiv 6 \cdot n \equiv 7 \cdot n \equiv 0 \pmod{8} \quad \Box \Xi \Box \Box \Box \Box$$

 $n=3\sim13$  的 $E^*(C_n)$ 值,如下表 2-1:

$C_{n}$	$C_3$	$C_4$									$C_{13}$		$C_{15}$
$E^*(C_n)$	$\frac{15}{8}$	$\frac{5}{2}$	$\frac{49}{16}$	59 16	$\frac{137}{32}$	$\frac{39}{8}$	$\frac{351}{64}$	389 64	$\frac{855}{128}$	$\frac{233}{32}$	$\frac{2017}{256}$	$\frac{2171}{256}$	4649       512

表 2-1

### $(二) E^*(C_n)$ 的生成函數

若將圖形  $C_1$ 、  $C_2$  視為  $L_1$ 、  $L_2$  ,則可將  $E^*(C_1)$  、  $E^*(C_2)$  、  $E^*(C_3)$  … 之值視為數列  $< b_n >_1^{\infty} = <1, \frac{3}{2}, \frac{15}{8}, \frac{5}{2}, \frac{49}{16}, \frac{59}{16}, \frac{137}{32}$  … > ,考慮生成函數時,增加  $b_0 = 0$  ,形成數列  $< b_n >_0^{\infty} = <0, 1, \frac{3}{2}, \frac{15}{8}, \frac{5}{2}, \frac{49}{16}, \frac{59}{16}, \frac{137}{32}$  … > ,關於數列  $< b_n >_0^{\infty}$  ,  $g(x) = \sum_{k=0}^{\infty} b_k x^k$  稱為  $< b_n >_0^{\infty}$  的一般 生成函數。

### 【定理 2 2】

若函數 
$$g(x)$$
 為  $E^*(C_n)$  的生成函數,則  $g(x) = \frac{x^6 + x^5 - x^4 - x^3 + 4x^2 + 8x}{4(x-1)^2(x^2 + 2x + 2)}$ 。

#### < 證明 >

### (三) 圖形 $C_n$ 最優化塗色方法之性質

圖形  $L_n$  最優化塗色方法是以圓圈  $\ell_2$  當第一個塗點,圖形  $C_n$  則是任選一圓圈皆可當第一個塗點,之後,兩者塗色方法皆同。因此我們不妨令圖形  $C_n$  以圓圈  $c_2$  當第一個塗點,此時  $L_n$  中每個圓圈  $\ell_k$  的塗色次數期望值  $E(\ell_k)$  與  $C_n$  中每個圓圈  $c_k$  的塗色次數期望值  $E(c_k)$  只在 k=1 時不同,其餘皆相同,故只需調整【定理  $1_n$ 7】中的  $E(\ell_1)$  即可得。

### 【定理 2 3】 $n \in \mathbb{N}$ , $n \ge 3$ ,

 $\Rightarrow E(c_k)$  為圓圈 $c_k$  之塗色次數期望值,則

$$E(c_2) = 1$$
,  $E(c_1) = \frac{1}{2} - \frac{1}{8} (P_{n-3} + 2P_{n-2} + P_{n-1})$ 

$$E(c_k) = \frac{1}{4} P_{k-2} + \frac{1}{4} P_{k-1} + P_k \qquad 3 \le k < n$$

$$E(c_n) = \frac{1}{2}P_{n-3} + P_{n-2} + \frac{1}{2}P_{n-1}$$

### <證明>

考慮圓圈 c, 在不當指定塗點下被塗色的兩種情形:

- (1) 以圓圈 $c_2$ 為塗點(機率為 1)且圓圈 $c_1$ 有 $\frac{1}{2}$ 機率被塗色,此機率為 $\frac{1}{2}$ 。
- (2) 以圓圈 $c_2$ 為塗點(機率為 1) 且圓圈 $c_1$ 有 $\frac{1}{2}$ 機率未被塗色,再依最優化塗色方法下,若以圓圈 $c_n$ 為塗點且 $\frac{1}{2}$ 機率使得圓圈 $c_1$ 被塗色,此機率為

$$\frac{1}{2}(\frac{1}{2}P_n) = \frac{1}{8}P_{n-3} + \frac{1}{4}P_{n-2} + \frac{1}{8}P_{n-1}$$

曲 (1)(2)知,
$$E(c_1) = 1 - \frac{1}{2} - (\frac{1}{8}P_{n-3} + \frac{1}{4}P_{n-2} + \frac{1}{8}P_{n-1}) = \frac{1}{2} - \frac{1}{8}(P_{n-3} + 2P_{n-2} + P_{n-1})$$

以下為 $E^*(C_n)$ 與 $E^*(L_n)$ 之關係:

### 【定理 2 4】 $n \in \mathbb{N}$ , $n \ge 3$

$$E^*(C_n) = E^*(L_n) - \frac{1}{8}(P_{n-3} + 2P_{n-2} + P_{n-1})$$

#### < 讚明>

由【定理 2\_3】知, 
$$E^*(L_n) - E^*(C_n) = E(\ell_1) - E(c_1) = \frac{1}{8}(P_{n-3} + 2P_{n-2} + P_{n-1})$$
  
 $\therefore E^*(C_n) = E^*(L_n) - \frac{1}{8}(P_{n-3} + 2P_{n-2} + P_{n-1})$ 

將【推論1\_2】的結果代入【定理2\_4】的遞迴關係式,即可得到【推論2\_2】。

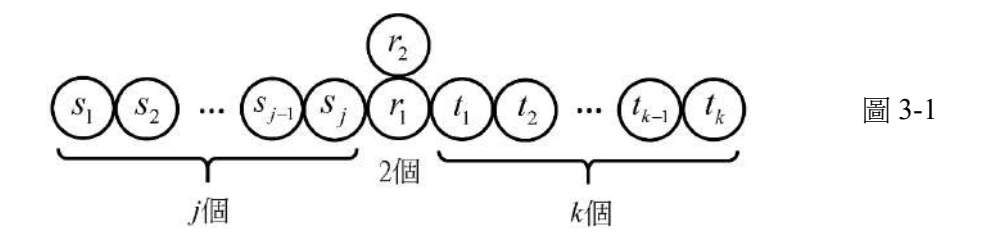
由【推論 2\_2】可知,隨著n值增加, $E^*(C_n)$ 與 $E^*(L_n)$ 之差值趨近於  $\frac{1}{5}$ 。下表 2-2 為  $n=3\sim 12$  之  $E^*(C_n)$  與  $E^*(L_n)$  的差值:

n	3	4	5	6	7	8	9	10	11	12	13
$E^*(C_n) - E^*(L_n)$	$-\frac{1}{8}$	$-\frac{1}{4}$	$-\frac{3}{16}$	$-\frac{3}{16}$	$-\frac{7}{32}$	$-\frac{3}{16}$	$-\frac{13}{64}$	$-\frac{13}{64}$	$-\frac{25}{128}$	$-\frac{13}{64}$	$-\frac{51}{256}$

表 2-2

# 三、圖形 $Q_{n,m}$ $(n \ge 4$ , $m \ge 1)$

(一) 圖形 $T_{j,2,k}$  (j,k≥1)定義為如下圖 3-1:

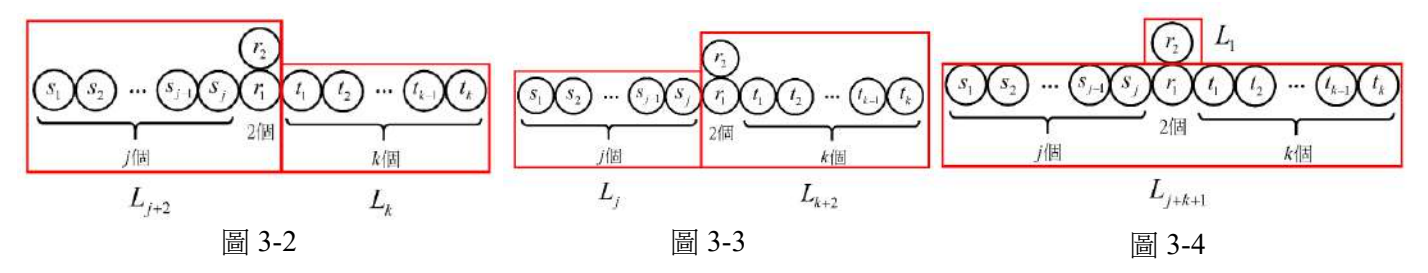


### 【引理 3\_1】 $j,k \in \mathbb{N}$ , $j,k \ge 1$

- (1)  $E^*(T_{j,2,k}) = E(T_{j,2,k} | r_1)$
- $(2) E^*(T_{j,2,k}) = E^*(L_{j+2}) + \frac{1}{2}(E^*(L_{k-1}) + E^*(L_k)) = E^*(L_{k+2}) + \frac{1}{2}(E^*(L_{j-1}) + E^*(L_j))$

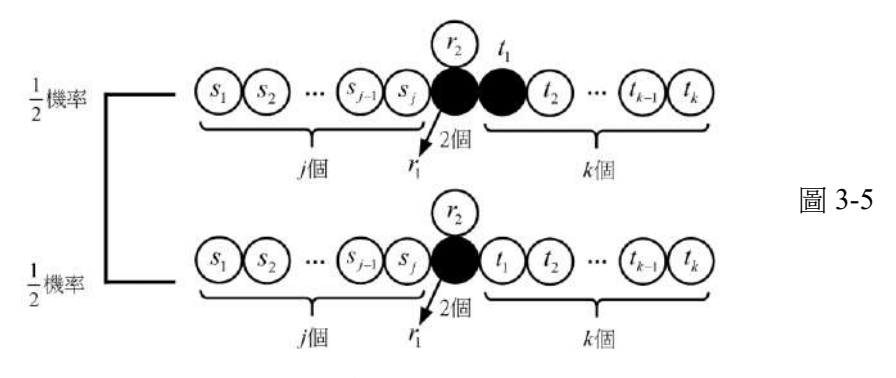
### <證明>

圖形 $T_{j,2,k}$ 之塗色方式可視為 $L_{j+2}\cup L_k$ ,如下圖 3-2;或 $L_j\cup L_{k+2}$ ,如下圖 3-3;或  $L_{j+1+k}\cup L_1$ ,如下圖 3-4。



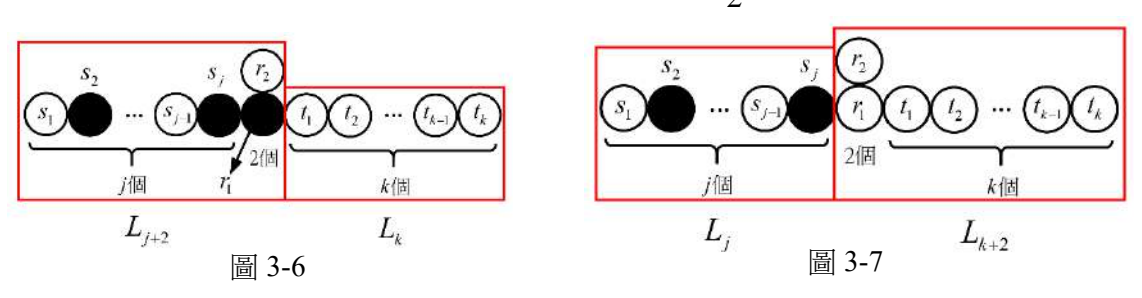
 $\overline{\mathtt{EA}\,L_{_{j+2}}\cup L_{_{k}}}$ ,圖形 $L_{_{j+2}}$ 之最優化塗色方法之第一個塗點為圓圈 $r_{_{1}}$ 或圓圈 $s_{_{2}}$ :

①若第一個塗點為圓圈  $r_1$  ,則圖形  $T_{i,2,k}$  可視為如下圖 3-5:



$$\therefore E(T_{j,2,k} | r_1) = E(L_{j+2}) + \frac{1}{2} (E(L_{k-1}) + E(L_k))$$

②若第一個塗點為圓圈  $s_2$ ,由左而右開始塗色,則當圓圈  $s_j$  當塗點(機率為  $P_{s_j}$ )時,圓圈  $t_1$  各有 $\frac{1}{2}$  機率被塗色或未被塗色。若為前者,圓圈  $t_1 \sim t_k$  可視為  $L_k$ ,如下圖 3-6,故指定塗色次數期望值為  $E(L_k)$ ;若為後者,剩餘圓圈可視為  $L_{k+2}$ ,如下圖 3-7,接下來將以圓圈  $t_1$  為塗點,圓圈  $t_1 \sim t_k$  之指定塗色次數期望值為  $\frac{1}{2}(E(L_{k-1}) + E(L_k))$ 。



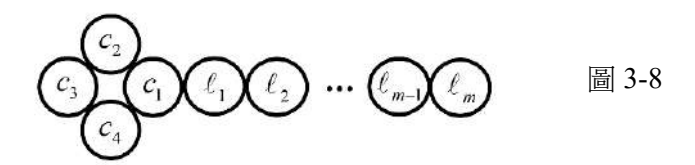
若為 $L_j \cup L_{k+2}$ ,同理可得 $E(T_{j,2,k} | r_1) \le E(T_{j,2,k} | t_{k-1})$ 

綜合上述,
$$E^*(T_{j,2,k}) = E^*(L_{j+2}) + \frac{1}{2}(E^*(L_{k-1}) + E^*(L_k)) = E^*(L_{k+2}) + \frac{1}{2}(E^*(L_{j-1}) + E^*(L_j))$$

### (二) 圖形 Q,,,,

### 1. 圖形 *Q*<sub>4 m</sub> (*m* ≥ 1)

圖形 $Q_{4,m}$ 可視為 $C_4 \cup L_m$ ,令 $C_4$ 中與 $L_m$ 相連的圓圈為 $c_1$ ,逆時針方向依序為 $c_2 \cdot c_3 \cdot c_4$ ,而 $L_m$ 中與圓圈 $c_1$ 相連為圓圈 $\ell_1$ ,由左而右依序為 $\ell_2 \cdot \ell_3 \cdot \cdots \cdot \ell_m$ ,如下圖 3-8。



# 【引理3\_2】 m≥1

$$E(Q_{4,m} \big| c_3) \leq E(Q_{4,m} \big| c_k) \qquad (1 \leq k \leq 4) \quad ; \quad \ \, \sharp \ \, \dagger m = 1 \, \vec{\boxtimes} \, 3 \; \; , \; \; E(Q_{4,m} \big| c_3) = E(Q_{4,m} \big| c_1)$$

### < 證明>

$$\begin{split} m &= 2 \quad ; \quad \frac{-11}{8} + \frac{1}{4}E^*(L_3) + \frac{3}{4}E^*(L_4) - \frac{1}{2}E^*(L_2) - \frac{1}{2}E^*(L_1) = \frac{-1}{16} < 0 \\ m &= 3 \quad ; \quad \frac{-11}{8} + \frac{1}{4}E^*(L_4) + \frac{3}{4}E^*(L_5) - \frac{1}{2}E^*(L_3) - \frac{1}{2}E^*(L_2) = 0 \\ m &\geq 4 \quad ; \quad \frac{-11}{8} + \frac{1}{4}E^*(L_{m+1}) + \frac{3}{4}E^*(L_{m+2}) - \frac{1}{2}E^*(L_m) - \frac{1}{2}E^*(L_{m-1}) \\ &= \frac{1}{4}(\frac{-1}{10} + \lambda(z-1)(3z^2 + 4z + 2)z^{m-1} + \overline{\lambda(z-1)(3z^2 + 4z + 2)z^{m-1}}) \\ &= \frac{1}{4}(\frac{-1}{10} + 2\operatorname{Re}((\frac{1+2i}{20})z^{m-1})) \leq \frac{1}{4}(\frac{-1}{10} + 2|\frac{1+2i}{20}||z^{m-1}|) = \frac{1}{4}(\frac{-1}{10} + \frac{\sqrt{5}}{10}(\frac{1}{\sqrt{2}})^{m-1}) < 0 \end{split}$$

 $\therefore E(Q_{4,m}|c_3) \le E(Q_{4,m}|c_1)$ ,其中當m=1或3時,等號成立

$$(2) E(Q_{4,m}|c_{3}) - E(Q_{4,m}|c_{2}) = \frac{-1}{2} + \frac{1}{4}E^{*}(L_{m+1}) + \frac{1}{2}E^{*}(L_{m+2}) - \frac{1}{2}E^{*}(L_{m}) - \frac{1}{4}E^{*}(L_{m+3})$$

$$\begin{array}{c} \textbf{check} : \frac{-1}{2} + \frac{1}{4}E^{*}(L_{m+1}) + \frac{1}{2}E^{*}(L_{m+2}) - \frac{1}{2}E^{*}(L_{m}) - \frac{1}{4}E^{*}(L_{m+3}) \leq 0 \\ \\ \vdots \frac{-1}{2} + \frac{1}{4}E^{*}(L_{m+1}) + \frac{1}{2}E^{*}(L_{m+2}) - \frac{1}{2}E^{*}(L_{m}) - \frac{1}{4}E^{*}(L_{m+3}) \\ \\ = \frac{-1}{5} + \frac{\lambda}{4}(z - 2)(1 - z^{2})z^{m} + \frac{\lambda}{4}(z - 2)(1 - z^{2})z^{m} = \frac{-1}{5} + 2\operatorname{Re}((\frac{8+i}{80})(z^{m})) \\ \\ \leq \frac{-1}{5} + 2\left|\frac{8+i}{80}\right| (\frac{1}{\sqrt{2}})^{m} = \frac{-1}{5} + \frac{\sqrt{65}}{40}(\frac{1}{\sqrt{2}})^{m} < 0 \\ \\ \vdots E(Q_{4,m}|c_{3}) \leq E(Q_{4,m}|c_{2}) \end{array}$$

由(1)(2) 知,
$$E(Q_{4,m}|c_3) \le E(Q_{4,m}|c_k)$$
,其中當 $m=1$ 或3, $E(Q_{4,m}|c_3) = E(Q_{4,m}|c_1)$ 

接下來我們將依m值討論 $Q_{4,m}$ 之最優化塗色方法。

$$(1) m=1$$

$$E(Q_{4,1}|\ell_1) \ge 1 + \frac{1}{2}(E^*(L_3) + E^*(C_4)) = \frac{13}{4}$$
  
又由【引理 3\_2】知,  $E(Q_{4,1}|c_1) = E(Q_{4,1}|c_3) = 3$   
 $\therefore E^*(Q_{4,1}) = E(Q_{4,1}|c_1) = E(Q_{4,1}|c_3)$ 

# (2) m=2

$$E(Q_{4,2}|\ell_1) \ge 1 + \frac{1}{2}(E^*(L_3) + E^*(C_4)) + \frac{1}{2}E^*(L_1) = \frac{15}{4}$$

$$E(Q_{4,2}|\ell_2) \ge 1 + \frac{1}{2}(E^*(C_4) + E^*(Q_{4,1})) = \frac{15}{4}$$
又由【号理 3\_2】知,  $E(Q_{4,2}|c_3) = \frac{59}{16} = E(Q_{4,2}|c_1) - \frac{1}{16}$ 
 $\therefore E^*(Q_{4,2}) = E(Q_{4,2}|c_3)$ 

(3) m = 3

$$\begin{split} E(Q_{4,3} \big| \ell_1) \ge 1 + \frac{1}{2} (E^*(L_3) + E^*(C_4)) + \frac{1}{2} (E^*(L_1) + E^*(L_2)) &= \frac{9}{2} \\ E(Q_{4,3} \big| \ell_2) \ge 1 + \frac{1}{2} (E^*(C_4) + E^*(Q_{4,1})) + \frac{1}{2} E^*(L_1) &= \frac{17}{4} \\ E(Q_{4,3} \big| \ell_3) \ge 1 + \frac{1}{2} (E^*(Q_{4,1}) + E^*(Q_{4,2})) &= \frac{139}{32} \\ \mathbb{Z} \oplus \mathbf{G} \oplus \mathbf{$$

(4)  $m \ge 4$ 

圖形  $Q_{4,m}$  若以圓圈  $\ell_{m-1}$  當第一個塗點,且依  $L_m$  之最優化塗色方法,由右而左塗色, ①當圓圈  $\ell_4$  當塗點(機率為  $P_{m-3}$ ),左邊剩餘圓圈有 $\frac{1}{2}$  機率為  $Q_{4,2}$  ,有 $\frac{1}{2}$  機率為  $Q_{4,3}$  。 ②當圓圈  $\ell_3$  當塗點(機率為  $P_{m-2}$ ),左邊剩餘圓圈有 $\frac{1}{2}$  機率為  $Q_{4,1}$  ,有 $\frac{1}{2}$  機率為  $Q_{4,2}$  。 故有 $\frac{1}{2}P_{m-3}+\frac{1}{2}P_{m-2}$  機率出現  $Q_{4,2}$  。  $:: E^*(Q_{4,1})=E(Q_{4,1}|c_1) \cdot E^*(Q_{4,2})=E(Q_{4,2}|c_1)-\frac{1}{16} \cdot E^*(Q_{4,3})=E(Q_{4,3}|c_1) \, ,$  且由【定理  $1_{-5}$ 】之(1)知, $\frac{1}{2}P_{m-3}+\frac{1}{2}P_{m-2}=P_m$  $:: E(Q_{4,m}|\ell_{m-1})=E(Q_{4,m}|c_1)-P_m\cdot\frac{1}{16}\geq E^*(C_4)+\frac{1}{2}(E^*(L_{m-1})+E^*(L_m))-\frac{1}{16}P_m$ 

$$E^*(L_m) - E^*(L_{m-2}) = \frac{3}{2} - \frac{1}{4}P_{m-2} - \frac{1}{2}P_{m-1}$$

### <證明>

根據【定理 1\_7】,

$$\begin{split} E^*(L_m) - E^*(L_{m-2}) &= (\frac{1}{2}P_{m-3} + P_{m-2} + \frac{1}{2}P_{m-1}) + (\frac{1}{4}P_{m-3} + \frac{1}{4}P_{m-2} + P_{m-1}) + (\frac{1}{4}P_{m-4} + \frac{1}{4}P_{m-3} + P_{m-2}) \\ &- (\frac{1}{2}P_{m-5} + P_{m-4} + \frac{1}{2}P_{m-3}) = -\frac{1}{2}P_{m-5} - \frac{3}{4}P_{m-4} + \frac{1}{2}P_{m-3} + \frac{9}{4}P_{m-2} + \frac{3}{2}P_{m-1} \\ &= (-\frac{1}{2}P_{m-5} - P_{m-4} - P_{m-3}) + (\frac{1}{4}P_{m-4} + \frac{1}{2}P_{m-3} + \frac{1}{2}P_{m-2}) + (P_{m-3} + 2P_{m-2} + 2P_{m-1}) - \frac{1}{4}P_{m-2} - \frac{1}{2}P_{m-1} \\ &= -1 + \frac{1}{2} + 2 - \frac{1}{4}P_{m-2} - \frac{1}{2}P_{m-1} = \frac{3}{2} - \frac{1}{4}P_{m-2} - \frac{1}{2}P_{m-1} \quad (\text{ in $\mathbb{Z}\Xi 1_5$}) \gtrsim (2)) \end{split}$$

$$\frac{1}{4}E^*(L_{m+1}) + \frac{3}{4}E^*(L_{m+2}) + \frac{9}{8} = (E^*(C_4) + \frac{1}{2}E^*(L_{m-1}) + \frac{1}{2}E^*(L_m)) - \frac{1}{16}P_m$$

### < 證明 >

### 【引理35】 m≥4

$$E(Q_{4,m} | \ell_{m-1}) \le E(Q_{4,m} | \ell_k)$$
  $(1 \le k \le m)$ 

### <證明>

$$E(Q_{4,m} | \ell_{m-1}) \ge (E^*(C_4) + \frac{1}{2}E^*(L_{m-1}) + \frac{1}{2}E^*(L_m)) - \frac{1}{16}P_m = \frac{1}{2}(E^*(L_{m-1}) + E^*(L_m)) - \frac{1}{16}P_m + \frac{5}{2}E^*(L_m) + \frac{1}{2}E^*(L_m) + \frac{1}{2}E^*(L_m)$$

(1) k = 1

$$E(Q_{4,m} | \ell_1) = 1 + \frac{1}{2} (E(L_3) + E(C_4)) + \frac{1}{2} (E(L_{m-2}) + E(L_{m-1})) \ge \frac{13}{4} + \frac{1}{2} (E^*(L_{m-2}) + E^*(L_{m-1}))$$

$$\therefore E(Q_{4,m} | \ell_{m-1}) - E(Q_{4,m} | \ell_1) = \frac{1}{2} (E^*(L_m) - E^*(L_{m-2})) - \frac{1}{16} P_m - \frac{3}{4}$$

根據【引理3\_3】,

$$\therefore E(Q_{4,m} | \ell_{m-1}) - E(Q_{4,m} | \ell_1) = \frac{1}{2} \left( \frac{3}{2} - \frac{1}{4} P_{m-2} - \frac{1}{2} P_{m-1} \right) - \frac{1}{16} P_m - \frac{3}{4} = -\frac{1}{8} P_{m-2} - \frac{1}{4} P_{m-1} - \frac{1}{16} P_m < 0$$

$$\therefore E(Q_{4,m} | \ell_{m-1}) < E(Q_{4,m} | \ell_1)$$

(2) k = 2

$$E(Q_{4,m} | \ell_2) = 1 + \frac{1}{2} (E(C_4) + E(Q_{4,1})) + \frac{1}{2} (E(L_{m-3}) + E(L_{m-2})) \ge \frac{15}{4} + \frac{1}{2} (E^*(L_{m-3}) + E^*(L_{m-2}))$$

$$\therefore E(Q_{4,m} | \ell_{m-1}) - E(Q_{4,m} | \ell_2) = \frac{1}{2} (E^*(L_{m-1}) - E^*(L_{m-3})) + \frac{1}{2} (E^*(L_m) - E^*(L_{m-2})) - \frac{1}{16} P_m - \frac{5}{4} P_m - \frac{5}{$$

根據【引理3\_3】及【定理1\_5】之(2),

$$\begin{split} E(Q_{4,m} \big| \ell_{m-1}) - E(Q_{4,m} \big| \ell_{2}) &= \frac{1}{2} \left( \frac{3}{2} - \frac{1}{4} P_{m-3} - \frac{1}{2} P_{m-2} \right) + \frac{1}{2} \left( \frac{3}{2} - \frac{1}{4} P_{m-2} - \frac{1}{2} P_{m-1} \right) - \frac{1}{16} P_{m} - \frac{5}{4} \\ &= \frac{1}{4} - \left( \frac{1}{8} P_{m-3} + \frac{1}{4} P_{m-2} + \frac{1}{4} P_{m-1} \right) - \frac{1}{8} P_{m-2} - \frac{1}{16} P_{m} = \frac{1}{4} - \frac{1}{4} - \frac{1}{8} P_{m-2} - \frac{1}{16} P_{m} < 0 \\ &\therefore E(Q_{4,m} \big| \ell_{m-1}) < E(Q_{4,m} \big| \ell_{2}) \end{split}$$

### $(3) k \ge 3$

若圖形 $Q_{4m}$ 以圓圈 $\ell_k$ 當第一個塗點,則

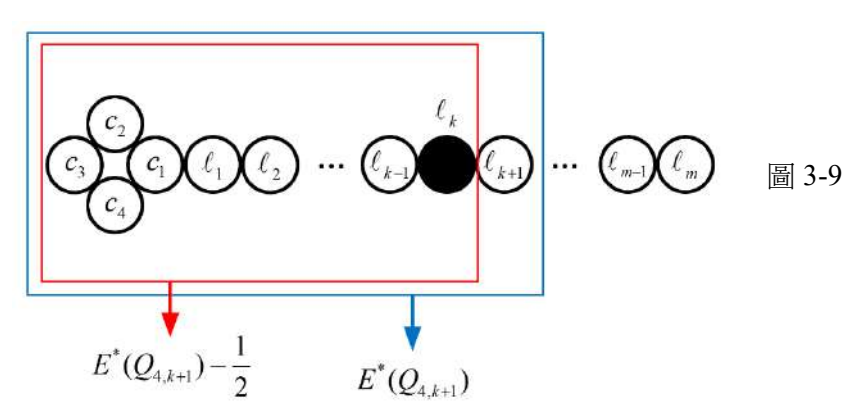
$$E(Q_{4,m} | \ell_k) = 1 + \frac{1}{2} (E(Q_{4,k-2}) + E(Q_{4,k-1})) + \frac{1}{2} (E(L_{m-k-1}) + E(L_{m-k}))$$

接下來塗點的選取有以下兩種:

①根據【引 $\mathbf{2}$ 】以圓圈c,當塗點,則

$$\begin{split} &1 + \frac{1}{2}(E(Q_{4,k-2}|c_3) + E(Q_{4,k-1}|c_3)) + \frac{1}{2}(E^*(L_{m-k-1}) + E^*(L_{m-k})) \\ &\geq 1 + \frac{1}{2}(\frac{1}{4}E^*(L_{k-1}) + \frac{3}{4}E^*(L_k) + \frac{9}{8} + \frac{1}{4}E^*(L_k) + \frac{3}{4}E^*(L_{k+1}) + \frac{9}{8}) + \frac{1}{2}(E^*(L_{m-k-1}) + E^*(L_{m-k})) \\ &= \frac{1}{4}(1 + \frac{1}{2}E^*(L_{k-1}) + \frac{1}{2}E^*(L_k) + \frac{1}{2}E^*(L_{m-k-1}) + \frac{1}{2}E^*(L_{m-k})) + \frac{3}{4}(1 + \frac{1}{2}E^*(L_k) + \frac{1}{2}E^*(L_{k+1}) \\ &+ \frac{1}{2}(E^*(L_{m-k-1}) + E^*(L_{m-k})) + \frac{9}{8} = \frac{1}{4}(E(L_{m+1}|\ell_{k+1}) + \frac{3}{4}(E(L_{m+2}|\ell_{k+2}) + \frac{9}{8}) \\ &\geq \frac{1}{4}E^*(L_{m+1}) + \frac{3}{4}E^*(L_{m+2}) + \frac{9}{8} \end{split}$$

②以圓圈 $\ell_k$ 當第一個塗點後,依 $L_{k+1}$ 之最優化塗色方法,由右而左塗色,如下圖 3-9:



如第 25 頁(4)之討論,
$$E(Q_{4,m}|\ell_k) = E(Q_{4,k+1}) - \frac{1}{2} + \frac{1}{2}(E(L_{m-k-1}) + E(L_{m-k}))$$

$$\geq (E^*(C_4) + \frac{1}{2}(E^*(L_k) + E^*(L_{k+1})) - \frac{1}{16}P_{k+1}) - \frac{1}{2}E^*(L_1) + \frac{1}{2}(E^*(L_{m-k-1}) + E^*(L_{m-k}))$$

$$\therefore E(Q_{4,m}|\ell_{m-1}) - E(Q_{4,m}|\ell_k)$$

$$= \frac{1}{2}((E^*(L_{m-1}) + E^*(L_m) + E^*(L_1)) - (E^*(L_k) + E^*(L_{k+1}) + E^*(L_{m-k-1}) + E^*(L_{m-k})) - \frac{1}{8}(P_m - P_{k+1}))$$

check:

$$(E^*(L_{m-1}) + E^*(L_m) + E^*(L_1)) - (E^*(L_k) + E^*(L_{k+1}) + E^*(L_{m-k-1}) + E^*(L_{m-k})) - \frac{1}{8}(P_m - P_{k+1}) \le 0$$

由【**定理 1\_1**】及【**定理 1\_5**】之(3)得,

$$(E^*(L_{m-1}) + E^*(L_n) + E^*(L_1) + E^*(L_1) + E^*(L_0)) - (E^*(L_k) + E^*(L_{k+1}) + E^*(L_{m-k}) + E^*(L_{m-k-1})) - \frac{1}{8}(P_m - P_{k+1})$$

$$= \lambda(z^0 + z + z^{m-1} + z^m - z^k - z^{k+1} - z^{m-k-1} - z^{m-k}) + \overline{\lambda(z^0 + z + z^{m-1} + z^m - z^k - z^{k+1} - z^{m-k-1} - z^{m-k})}$$

$$- \frac{1}{8}\delta(z^m - z^{k+1}) - \overline{\frac{1}{8}}\delta(z^m - z^{k+1})$$

$$= (\lambda - \frac{1}{8}\delta)(z^m - z^{k+1}) + \lambda(1 + z - z^k)(1 - z^{m-k-1}) + (\overline{\lambda - \frac{1}{8}\delta})(z^m - z^{k+1}) + \lambda(1 + z - z^k)(1 - z^{m-k-1})$$

$$= (1 - z^{m-k-1})((\frac{1}{8}\delta - \lambda)z^{k+1} + \lambda(1 + z - z^k)) + (1 - z^{m-k-1})((\frac{1}{8}\delta - \lambda)z^{k+1} + \lambda(1 + z - z^k))$$

$$= (1 - z^{m-k-1})((-\frac{11-2i}{200})(1 - z^k) + (-\frac{1-2i}{40})) + (1 - z^{m-k-1})((-\frac{11-2i}{200})(1 - z^k) + (-\frac{1-2i}{40}))$$

$$= 2\operatorname{Re}((1 - z^{m-k-1})((-\frac{11-2i}{200})(1 - z^k) + (-\frac{1-2i}{40})))$$

$$\therefore \operatorname{Arg}(\frac{-11-2i}{200}) = -\pi + \tan^{-1}\frac{1}{2} \quad , \operatorname{Arg}(\frac{-1-2i}{40}) = -\pi + \tan^{-1}2$$

$$\Rightarrow \mathbf{I} \text{ } \mathbf{I}$$

曲 (1)(2)(3)知, $E(Q_{4,m}|\ell_{m-1}) \leq E(Q_{4,m}|\ell_k)$  (1 \le k \le m)

# 由【引理3\_2】、【引理3\_4】及【引理3\_5】,我們可以得到以下定理:

【定理 3\_1】 m≥4

$$E^*(Q_{4,m}) = E(Q_{4,m} | c_3) = E(Q_{4,m} | \ell_{m-1}) = \frac{1}{4} E^*(L_{m+1}) + \frac{3}{4} E^*(L_{m+2}) + \frac{9}{8}$$

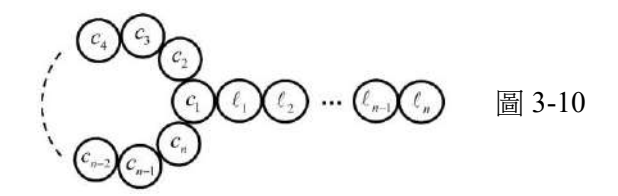
### 我們將上述結果整理成下表 3-1:

圖形	$Q_{4,1}$	$Q_{4,2}$	$Q_{4,3}$	$Q_{4,m} \ (m \ge 4)$
最優化塗色方法之 第一個塗點位置	圓圈 $c_1 \cdot c_3$	圓圈 $c_3$	圓圈 $c_1 \cdot c_3 \cdot$ 圓圈 $\ell_2$	圓圈 c₃、 圓圈 ℓ <sub>m-1</sub>

表 3-1

### 2. 圖形 $Q_{nm}$ $(n \ge 5)$

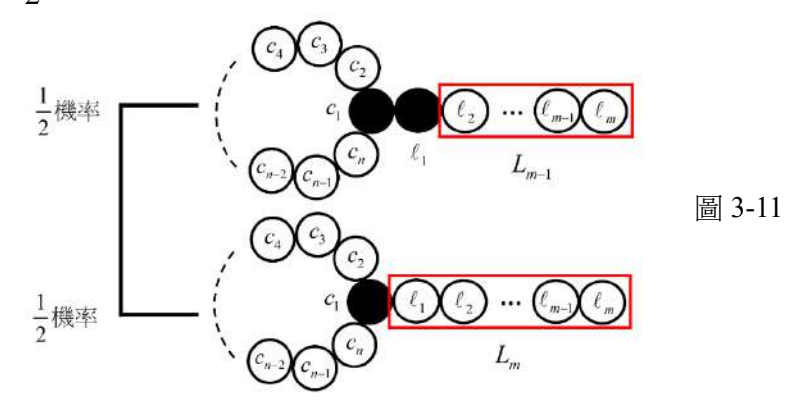
圖形 $Q_{n,m}$ 可視為 $C_n \cup L_m$ ,令 $C_n$ 中與 $L_m$ 相連的圓圈為 $c_1$ ,逆時針方向依序為 $c_2 \cdot c_3 \cdot \cdots \cdot c_n$ ,而 $L_m$ 中與圓圈 $c_1$ 相連為圓圈 $\ell_1$ ,由左而右依序為 $\ell_2 \cdot \ell_3 \cdot \cdots \cdot \ell_m$ ,如下圖 3-10。



圖形 $Q_{n,m}$ 的第一個塗點選取,我們可以分成 $C_n$ 中的圓圈與 $L_m$ 中的圓圈來討論。在 $C_n$ 諸個圓圈中,任選哪一個當塗點, $E^*(C_n)$ 皆相同,因此需要考量哪個圓圈 $c_j$  ( $1 \le j \le [\frac{n}{2}+1]$ )當第一個塗點,可使 $E(L_m)$  達最小。

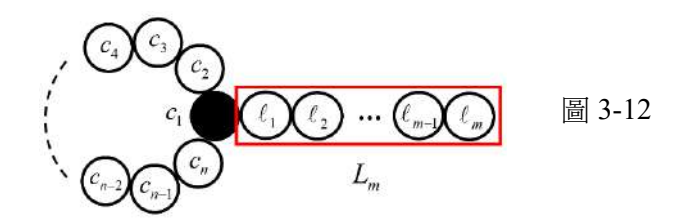
# $L_m$ 部分的指定塗色次數期望值有以下三種可能模式:

<模式一> 在圓圈  $c_1$  未塗色的狀態下,以  $c_1$  當塗點,此時  $L_m$  部分的指定塗色次數期望值為  $\frac{1}{2}(E^*(L_{m-1})+E^*(L_m))$ ,如下圖 3-11。



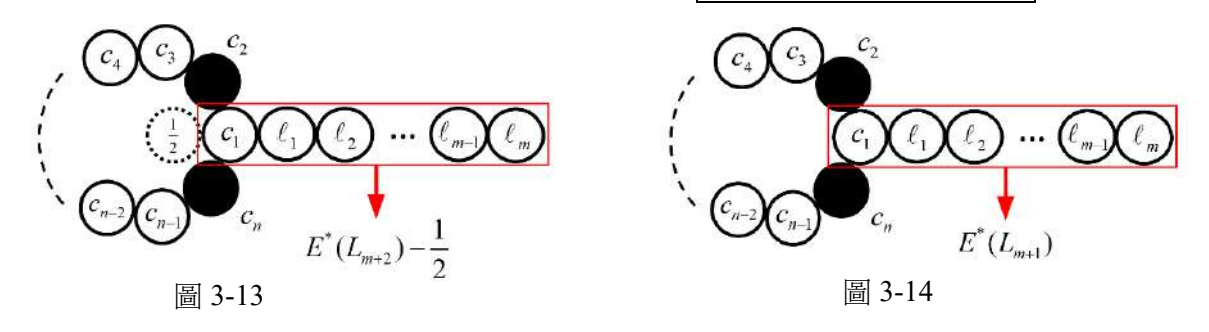
<模式二> 在圓圈 $c_1$ 已塗色的狀態下,此時 $L_m$ 部分的指定塗色次數期望值為

$$E^*(L_m) = \frac{1}{2} (E^*(L_{m-1}) + E^*(L_m)) + \left[ \frac{1}{2} (E^*(L_m) - E^*(L_{m-1})) \right], \text{ The } 3-12 \circ$$



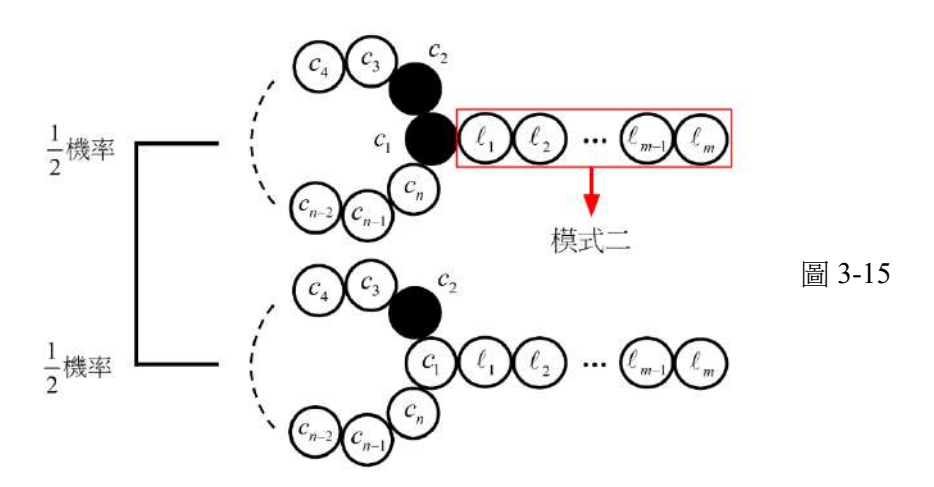
<模式三> 在圓圈  $c_2$  及  $c_n$  皆已塗色的狀態下,若先進行圓圈  $c_1$  的塗色,則圓圈  $c_1$  、  $\ell_1$  ~  $\ell_m$  的指定塗色次數期望值為  $E^*(L_{m+2})-\frac{1}{2}$  ,如下圖 3-13,但這並非最優化。若改以圓圈

 $\ell_1$ 當塗點,則圓圈  $c_1$ 、  $\ell_1$  ~  $\ell_m$  的指定塗色次數期望值為  $E^*(L_{m+1})$  ,如下圖 3-14,較前者減少  $E^*(L_{m+1}) - (E^*(L_{m+2}) - \frac{1}{2}) = E^*(L_{m+1}) - E^*(L_{m+2}) + \frac{1}{2}$ ,因此可視  $L_m$  部分的指定塗色次數期望值為  $\frac{1}{2}(E^*(L_{m-1}) + E^*(L_m)) + \underbrace{(E^*(L_{m+1}) - E^*(L_{m+2}) + \frac{1}{2})}_{\circ}$ 。



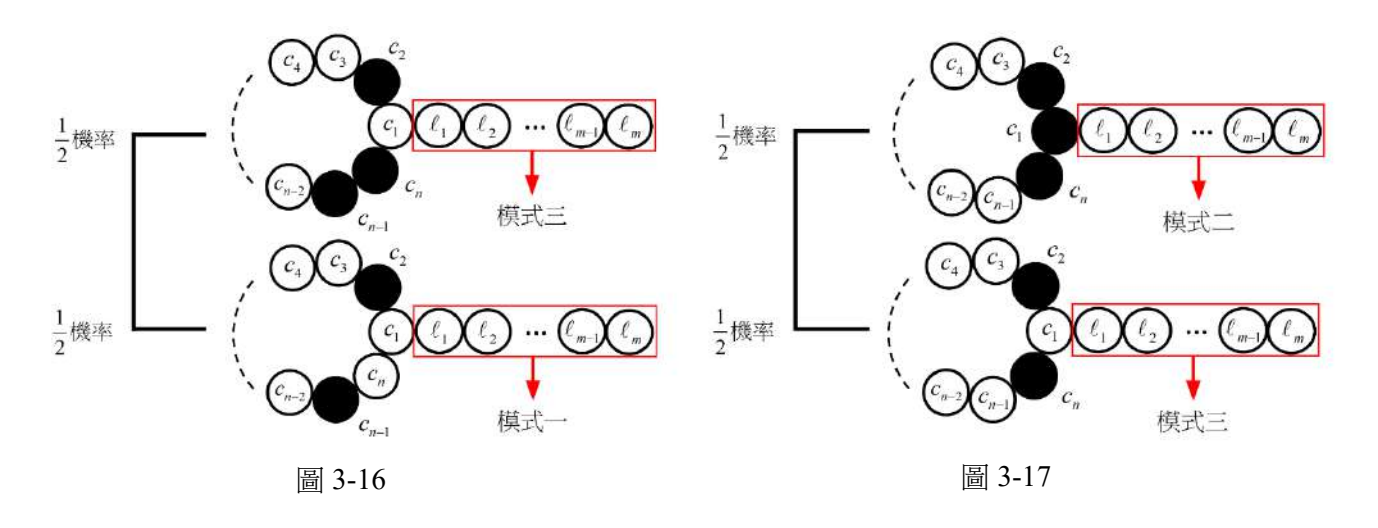
接下來我們進一步分析 $C_n$ 中的圓圈當塗點時, $L_m$ 部分的指定塗色次數期望值所對應的模式:

- (I) 圓圈 $c_1$ 當指定塗點,此時 $L_m$ 部分的指定塗色次數期望值全為模式一。
- (II) 圓圈 $c_2$ 當指定塗點,則圓圈 $c_1$ 各有 $\frac{1}{2}$ 機率被塗色或未被塗色,如下圖 3-15。此時前者為模式二;後者剩餘圓圈將視為圖形 $L_m$ 的塗色。

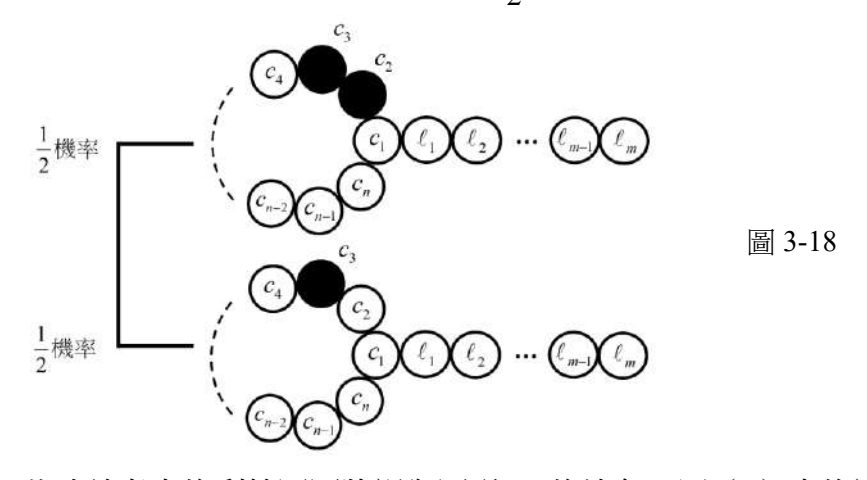


現接續考量圖形 $L_m$ 的塗色方法,其有以下兩種可能:

- ①若圓圈 $c_{n-1}$ 當塗點,則圓圈 $c_n$ 各有 $\frac{1}{2}$ 機率被塗色或未被塗色,此時前者為模式三,後者接下來將以圓圈 $c_1$ 當塗點,是為模式一,如下圖 3-16。
- ②若圓圈 $c_n$ 當塗點,則圓圈 $c_1$ 各有 $\frac{1}{2}$ 機率被塗色或未被塗色,此時前者為模式二,後者為模式三,如下圖 3-17。



(III) 圓圈  $c_3$  當指定塗點,則圓圈  $c_2$ 各有  $\frac{1}{2}$  機率被塗色或未被塗色,如下圖 3-18。



此時前者中的剩餘圓圈將視為圖形 $L_m$ 的塗色,同(2)中的討論;後者中的剩餘圓圈將視為圖形 $T_{i':2,k'}$ ,接下來將以圓圈 $c_1$ 當塗點,是為模式一。

由上討論後我們可知,

若以圓圈  $c_1$  當第一個塗點,則  $E(Q_{n,m} | c_1) = E^*(C_n) + \frac{1}{2} (E^*(L_{m-1}) + E^*(L_m))$  ;

若以圓圈  $c_k$  (2  $\leq$  k  $\leq$  [ $\frac{n}{2}$  +1]) 當第一個塗點,依最優化塗色分法,之後圓圈  $c_2$ 、 $c_3$ 、 $c_{n-1}$ 、 $c_n$ 

當指定塗點的機率依序為 $P_k \cdot P_{k-1} \cdot P_{n-k+1} \cdot P_{n-k+2}$ ,如下圖 3-19:

$$E(Q_{n,m} | c_k) = E(C_n) + \frac{1}{2} (E^*(L_{m-1}) + E^*(L_m)) + \frac{1}{2} P_k (\underbrace{\frac{1}{2} (E^*(L_m) - E^*(L_{m-1}))}_{\text{start}}) + \underbrace{\frac{1}{2} P_k (\underbrace{\frac{1}{2} (E^*(L_m) - E^*(L_{m-1})}_{\text{start}}) + \underbrace{\frac{1}{2} (E^*(L_m) - E^*(L_{m-1}))}_{\text{start}}) + \underbrace{\frac{1}{2} P_k (\underbrace{\frac{1}{2} (E^*(L_m) - E^*(L_{m-1})}_{\text{start}}) + \underbrace{\frac{1}{2} (E^*(L_m) - E^*(L_{m-1})}_{\text{start}}) + \underbrace{\frac{1}{2} (E^*(L_m) - E^*(L_m)}_{\text{start}}) + \underbrace{\frac{1}{2} (E^*(L_m) - E^$$

$$\frac{1}{2}P_{k}(\frac{1}{2}P_{n-k+2}(\underbrace{\frac{1}{2}(E^{*}(L_{m})-E^{*}(L_{m-1}))}_{\text{ $\not E$ $ $\not E$ }} + (\underbrace{E^{*}(L_{m+1})-E^{*}(L_{m+2})+\frac{1}{2}))}_{\text{ $\not E$ $ $\not E$ }} + \underbrace{\frac{1}{2}P_{n-k+1}(\underbrace{E^{*}(L_{m+1})-E^{*}(L_{m+2})+\frac{1}{2})}_{\text{ $\not E$ $\not E$ }}) + \underbrace{\frac{1}{2}P_{n-k+1}(\underbrace{E^{*}(L_{m+1})-E^{*}(L_{m+2})+\frac{1}{2}}_{\text{ $\not E$ $\not E$ }}))}_{\text{ $\not E$ $\not E$ }} + \underbrace{\underbrace{E^{*}(L_{m+1})-E^{*}(L_{m+1})-E^{*}(L_{m+2})+\frac{1}{2}}_{\text{ $\not E$ $\not E$ }}) + \underbrace{\frac{1}{2}P_{n-k+1}(\underbrace{E^{*}(L_{m+1})-E^{*}(L_{m+2})+\frac{1}{2}}_{\text{ $\not E$ $\not E$ }}))}_{\text{ $\not E$ $\not E$ }}$$

接下來我們考慮以下三值: 
$$\frac{1}{2}(E^*(L_m)-E^*(L_{m-1}))$$
 、  $E^*(L_{m+1})-E^*(L_{m+2})+\frac{1}{2}$  及 
$$\frac{1}{2}(E^*(L_m)-E^*(L_{m-1}))+(E^*(L_{m+1})-E^*(L_{m+2})+\frac{1}{2})$$
 ,其中 $\frac{1}{2}(E^*(L_m)-E^*(L_{m-1}))\geq 0$  顯然成立。

【引理 3\_6】 
$$m \in \mathbb{N}$$
 ,  $m \ge 2$ 

$$E^*(L_m) - E^*(L_{m-1}) = \frac{1}{2} + \frac{1}{4}P_{m-2}$$

### <證明>

# 根據【定理 1\_7】,

$$\begin{split} E^*(L_m) - E^*(L_{m-1}) &= (\frac{1}{2}P_{m-3} + P_{m-2} + \frac{1}{2}P_{m-1}) + (\frac{1}{4}P_{m-3} + \frac{1}{4}P_{m-2} + P_{m-1}) - (\frac{1}{2}P_{m-4} + P_{m-3} + \frac{1}{2}P_{m-2}) \\ &= (-\frac{1}{2}P_{m-4} - P_{m-3} - P_{m-2}) + (\frac{3}{4}P_{m-3} + \frac{3}{2}P_{m-2} + \frac{3}{2}P_{m-1}) + \frac{1}{4}P_{m-2} \\ &= -1 + \frac{3}{2} + \frac{1}{4}P_{m-2} = \frac{1}{2} + \frac{1}{4}P_{m-2} \quad (\text{ in [EXIII.15]}) \gtrsim (2)) \end{split}$$

【引理 3\_7】 
$$m \in \mathbb{N}$$
 ,  $m \ge 2$ 

$$\frac{1}{2}(E^*(L_m) - E^*(L_{m-1})) + (E^*(L_{m+1}) - E^*(L_{m+2}) + \frac{1}{2}) \ge 0$$

### <證明>

曲【引**理 3\_6**】知, 
$$\frac{1}{2}(E^*(L_m)-E^*(L_{m-1}))+(E^*(L_{m+1})-E^*(L_{m+2})+\frac{1}{2})$$
  
=  $\frac{1}{2}(\frac{1}{2}+\frac{1}{4}P_{m-2})+(-\frac{1}{2}-\frac{1}{4}P_m+\frac{1}{2})=\frac{1}{4}(1+\frac{1}{2}P_{m-2}-P_m)\geq 0$ 

計算  $E(Q_{n,m}|c_k)$  之值時,一旦  $P_k$  決定,  $P_{k-1}$  、  $P_{n-k+1}$  、  $P_{n-k+2}$  的值也隨之決定。且與  $E(Q_{n,m}|c_1)=E^*(C_n)+\frac{1}{2}(E^*(L_{m-1})+E^*(L_m))$  該式比較後,我們的目標將是尋求是否有圓圈  $c_k$  (  $2 \le k \le [\frac{n}{2}+1]$  )當第一個塗點時,可使得  $\frac{1}{2}P_k(\frac{1}{2}(E^*(L_m)-E^*(L_{m-1})))+\frac{1}{2}P_{n-k+2}(\frac{1}{2}(E^*(L_m)-E^*(L_{m-1}))+(E^*(L_{m+1})-E^*(L_{m+2})+\frac{1}{2}))+\frac{1}{2}P_{n-k+1}(E^*(L_{m+1})-E^*(L_{m+2})+\frac{1}{2}))+\frac{1}{2}P_{n-k+2}(\frac{1}{2}(E^*(L_m)-E^*(L_{m-1}))+(E^*(L_{m+1})-E^*(L_{m+2})+\frac{1}{2}))+\frac{1}{2}P_{n-k+1}(E^*(L_{m+1})-E^*(L_{m+2})+\frac{1}{2}))<0$ 

由【引理 3\_6】、【引理 3\_7】知,上式中紅色字體之值大於或等於 0,藍色字體之值小於或等於 0,故令  $P_k=0$ 。由【性質 1\_1】知此時唯一解為 k=3,即以圓圈  $c_3$  當第一個塗點。又因  $P_2=1$ ,故現在僅需考慮是否

$$\frac{1}{2}(\frac{1}{2}P_{n-1}(\frac{1}{2}(E^*(L_m)-E^*(L_{m-1}))+(E^*(L_{m+1})-E^*(L_{m+2})+\frac{1}{2}))+\frac{1}{2}P_{n-2}(E^*(L_{m+1})-E^*(L_{m+2})+\frac{1}{2}))<0 \circ$$

$$\stackrel{+}{=}\frac{1}{2}(\frac{1}{2}P_{n-1}(\frac{1}{2}(E^*(L_m)-E^*(L_{m-1}))+(E^*(L_{m+1})-E^*(L_{m+2})+\frac{1}{2}))+\frac{1}{2}P_{n-2}(E^*(L_{m+1})-E^*(L_{m+2})+\frac{1}{2}))<0 \circ$$

$$\stackrel{+}{=}\frac{1}{2}(\frac{1}{2}P_{n-1}(\frac{1}{2}(E^*(L_m)-E^*(L_{m-1}))+(E^*(L_{m+1})-E^*(L_{m+2})+\frac{1}{2}))+\frac{1}{2}P_{n-2}(E^*(L_{m+1})-E^*(L_{m+2})+\frac{1}{2}))<0 \circ$$

$$\stackrel{+}{=}\frac{1}{2}(\frac{1}{2}P_{n-1}(\frac{1}{2}(E^*(L_m)-E^*(L_{m-1}))+(E^*(L_{m+1})-E^*(L_{m+2})+\frac{1}{2}))+\frac{1}{2}P_{n-2}(E^*(L_{m+1})-E^*(L_{m+2})+\frac{1}{2}))<0 \circ$$

$$\stackrel{+}{=}\frac{1}{2}(\frac{1}{2}P_{n-1}(\frac{1}{2}(E^*(L_m)-E^*(L_{m-1}))+(E^*(L_{m+1})-E^*(L_{m+2})+\frac{1}{2}))+\frac{1}{2}P_{n-2}(E^*(L_{m+1})-E^*(L_{m+2})+\frac{1}{2}))<0 \circ$$

$$\stackrel{+}{=}\frac{1}{2}(\frac{1}{2}P_{n-1}(\frac{1}{2}(E^*(L_m)-E^*(L_{m-1}))+(E^*(L_{m+1})-E^*(L_{m+2})+\frac{1}{2}))+\frac{1}{2}P_{n-2}(E^*(L_{m+1})-E^*(L_{m+2})+\frac{1}{2}))<0 \circ$$

# (1) 圖形 $Q_{n,m}$ (1 $\leq m \leq 3$ )

# <I>m=1

$$\frac{1}{2} \left( \frac{1}{2} P_{n-1} \left( \frac{1}{2} (E^*(L_1) - E^*(L_0)) + (E^*(L_2) - E^*(L_3) + \frac{1}{2}) \right) + \frac{1}{2} P_{n-2} (E^*(L_2) - E^*(L_3) + \frac{1}{2}) \right) = \frac{1}{8} P_{n-1} > 0$$

$$\therefore E(Q_{n,1} | c_1) < E(Q_{n,1} | c_3)$$

【引理 3\_8  $n \in \mathbb{N}$  ,  $n \ge 5$ 

$$E^*(C_n) - E^*(L_{n-1}) \le \frac{1}{2}$$

### <證明>

$$E^{*}(C_{n}) - E^{*}(L_{n-1}) - \frac{1}{2} = 1 + \frac{1}{4}E^{*}(L_{n-1}) + \frac{1}{2}E^{*}(L_{n-2}) + \frac{1}{4}E^{*}(L_{n-3}) - E^{*}(L_{n-1}) - \frac{1}{2}$$

$$= \frac{1}{4}(E^{*}(L_{n-3}) + 2E^{*}(L_{n-2}) - 3E^{*}(L_{n-1}) + 2) = \frac{1}{4}(-\frac{2}{5} + 2\operatorname{Re}(\lambda(1+3z)(1-z)z^{n-3}))$$

$$\leq -\frac{1}{10} + \frac{1}{2} \left| \frac{-1 - 7i}{20} \right| \left| z^{n-3} \right| = -\frac{1}{10} + \left( \frac{1}{\sqrt{2}} \right)^{n+2} < 0$$

### 【定理 3 2】 $n \in \mathbb{N}$ , $n \ge 5$

$$E^*(Q_{n,1}) = E(Q_{n,1}|c_1) = E^*(C_n) + \frac{1}{2}$$

#### <證明>

$$E(Q_{n,1}|c_1) \ge E^*(C_n) + \frac{1}{2}(E^*(L_1) + E^*(L_0)) = E^*(C_n) + \frac{1}{2}$$

若考慮以 $L_1$ 中之圓圈 $\ell_1$ 當第一個塗點,則圓圈 $c_1$ 各有 $\frac{1}{2}$ 機率被塗色或未被塗色,此時剩餘

圓圈分別可視為
$$L_{n-1}$$
及 $C_n$ ,故 $E(Q_{n,1}|\ell_1) \ge 1 + \frac{1}{2}E^*(L_{n-1}) + \frac{1}{2}E^*(C_n)$ 

$$\therefore E(Q_{n,1}|c_1) - E(Q_{n,1}|\ell_1) = \frac{1}{2}(E^*(C_n) - E^*(L_{n-1}) - 1) \le 0 \qquad ( \text{ in 【引理 3_8})$$

$$\therefore E^*(Q_{n,1}) = E(Q_{n,1} | c_1) = E^*(C_n) + \frac{1}{2}$$

### <II>m=2

$$\therefore \frac{1}{2} \left( \frac{1}{2} P_{n-1} \left( \frac{1}{2} \left( E^* (L_2) - E^* (L_1) \right) + \left( E^* (L_3) - E^* (L_4) + \frac{1}{2} \right) \right) + \frac{1}{2} P_{n-2} \left( E^* (L_3) - E^* (L_4) + \frac{1}{2} \right) \right) = -\frac{1}{16} P_{n-2} \le 0$$

$$\therefore E(Q_{\scriptscriptstyle n,2}|c_{\scriptscriptstyle 3}) \le E(Q_{\scriptscriptstyle n,2}|c_{\scriptscriptstyle 1})$$
,其中 $n=5$ 時等號成立

再考慮 L2 中的圓圈當第一個塗點的情形:

#### 【引理 3 9】 $n \in \mathbb{N}$ , $n \ge 5$

$$E(Q_{n,2} | \ell_2) \leq E(Q_{n,2} | \ell_1)$$

### <證明>

$$E(Q_{n,2}|\ell_1) = 1 + \frac{1}{2}(E(L_{n-1}) + E(C_n) + \frac{1}{2}E(L_1)) \ge \frac{1}{2}E^*(L_{n-1}) + \frac{1}{2}E^*(C_n) + \frac{3}{2}$$

$$E(Q_{n,2}|\ell_2) = 1 + \frac{1}{2}(E(C_n) + E(Q_{n,1}) \ge 1 + \frac{1}{2}E^*(C_n) + \frac{1}{2}(E^*(C_n) + \frac{1}{2}) \qquad (由【定理3_2])$$

$$\therefore E(Q_{n,2}|\ell_2) - E(Q_{n,2}|\ell_1) = \frac{1}{2}(E^*(C_n) - E^*(L_{n-1}) - \frac{1}{2}) \le 0 \qquad (由【引理3_8])$$

$$\therefore E(Q_{n,2}|\ell_2) \le E(Q_{n,2}|\ell_1)$$

【引理3 10】
$$n \in \mathbb{N}$$
, $n \ge 4$ 

$$E^*(C_{n+1}) - E^*(C_n) = \frac{5}{8} - \frac{1}{16}P_{n-2}$$

#### <證明>

$$\begin{split} E^*(C_{n+1}) - E^*(C_n) + \frac{1}{16} P_{n-2} \\ &= \frac{3}{5} + \frac{1}{4} (\lambda(z+1)^2 (z-1) z^{n-3} + \overline{\lambda(z+1)^2 (z-1) z^{n-3}}) + \frac{1}{16} (\frac{2}{5} + \delta z^{n-2} + \overline{\delta z^{n-2}}) \\ &= (\frac{3}{5} + \frac{1}{40}) + \frac{1}{8} (\text{Re}(\frac{1+2i}{5} z^{n-3}) + \text{Re}(\frac{-1-2i}{5} z^{n-3})) = \frac{5}{8} \implies E^*(C_{n+1}) - E^*(C_n) = \frac{5}{8} - \frac{1}{16} P_{n-2} \end{split}$$

# 【定理 3\_3】 $n \in \mathbb{N}$ , $n \ge 5$

$$E^*(Q_{n,2}) = E(Q_{n,2} | c_3) = E^*(C_{n+1}) + \frac{5}{8}$$

#### <證明>

$$E(Q_{n,2}|c_3) \ge E^*(C_n) + \frac{1}{2}(E^*(L_2) + E^*(L_1)) - \frac{1}{16}P_{n-2} = E^*(C_n) + \frac{5}{4} - \frac{1}{16}P_{n-2}$$

$$E(Q_{n,2}|\ell_2) \ge 1 + \frac{1}{2}E^*(C_n) + \frac{1}{2}(E^*(C_n) + \frac{1}{2}) = E^*(C_n) + \frac{5}{4}$$

$$\therefore P_{n-2} > 0 \quad \therefore E(Q_{n,2}|c_3) \le E(Q_{n,2}|\ell_2)$$
故  $E^*(Q_{n,2}) = E(Q_{n,2}|c_3) = E^*(C_n) + \frac{5}{4} - \frac{1}{16}P_{n-2} = E^*(C_{n+1}) + \frac{5}{8}$  (由【引理 3\_10】)

### <III>m=3

$$\therefore \frac{1}{2} \left( \frac{1}{2} P_{n-1} \left( \frac{1}{2} (E^*(L_3) - E^*(L_2)) + (E^*(L_4) - E^*(L_5) + \frac{1}{2}) \right) + \frac{1}{2} P_{n-2} (E^*(L_4) - E^*(L_5) + \frac{1}{2}) \right) = \frac{1}{16} P_{n-1} > 0$$

$$\therefore E(Q_{n,3} | c_1) < E(Q_{n,3} | c_3)$$

再考慮 L, 中的圓圈當第一個塗點的情形:

### 【引理 3\_11】 $n \in \mathbb{N}$ , $n \ge 5$

$$E(Q_{n,3}|\ell_2) \le E(Q_{n,3}|\ell_k) \quad (1 \le k \le 3)$$

#### <證明>

$$E(Q_{n,3}|\ell_1) = 1 + \frac{1}{2}(E(L_{n-1}) + E(C_n)) + \frac{1}{2}(E(L_1) + E(L_2)) \ge \frac{1}{2}E^*(L_{n-1}) + \frac{1}{2}E^*(C_n) + \frac{9}{4}$$

$$E(Q_{n,3}|\ell_2) = 1 + \frac{1}{2}(E(C_n) + E(Q_{n,1})) + \frac{1}{2}E(L_1) \ge \frac{3}{2} + \frac{1}{2}E^*(C_n) + \frac{1}{2}(E^*(C_n) + \frac{1}{2}) \quad (\text{in } \mathbb{C} \mathbb{E} 3_2)$$

### 【定理 3 4】 $n \in \mathbb{N}$ , $n \ge 5$

$$E^*(Q_{n,3}) = E(Q_{n,3}|c_1) = E(Q_{n,3}|\ell_2) = E^*(C_n) + \frac{7}{4}$$

#### <證明>

$$\therefore E(Q_{n,3}|c_1) \ge E^*(C_n) + \frac{1}{2}(E^*(L_3) + E^*(L_2)) = E^*(C_n) + \frac{7}{4}$$

$$E(Q_{n,3}|\ell_2) \ge \frac{3}{2} + \frac{1}{2}E^*(C_n) + \frac{1}{2}(E^*(C_n) + \frac{1}{2}) = E^*(C_n) + \frac{7}{4}$$

$$\therefore E^*(Q_{n,3}) = E(Q_{n,3}|c_1) = E(Q_{n,3}|\ell_2) = E^*(C_n) + \frac{7}{4}$$

### (2) 圖形 $Q_{nm}$ $(m \ge 4)$

圖形 $Q_{n,m}$ 若以圓圈 $\ell_{m-1}$ 當第一個塗點,依最優化塗色方法,由右而左塗色,

①當圓圈 $\ell_4$ 當塗點(機率為 $P_{m-3}$ ),左邊剩餘圓圈有 $\frac{1}{2}$ 機率為 $Q_{n,2}$ ,有 $\frac{1}{2}$ 機率為 $Q_{n,3}$ 。

②當圓圈 $\ell_3$ 當塗點(機率為 $P_{m-2}$ ),左邊剩餘圓圈有 $\frac{1}{2}$ 機率為 $Q_{n,1}$ ,有 $\frac{1}{2}$ 機率為 $Q_{n,2}$ 。

故有
$$\frac{1}{2}P_{m-3} + \frac{1}{2}P_{m-2}$$
機率出現 $Q_{n,2}$ 。

由【**定理 3\_2】、【定理 3\_3】、【定理 3\_4】**知,

$$E^*(Q_{n,1}) = E(Q_{n,1}|c_1) \cdot E^*(Q_{n,2}) = E(Q_{n,2}|c_1) - \frac{1}{16}P_{n-2} \cdot E^*(Q_{n,3}) = E(Q_{n,3}|c_1)$$

且由【定理 1\_5】之(1)知, $\frac{1}{2}P_{m-3} + \frac{1}{2}P_{m-2} = P_m$ 

顯然  $E(Q_{n,m}|\ell_{m-1}) \le E(Q_{n,m}|c_1)$ ,因此接下來考慮  $E(Q_{n,m}|\ell_{m-1})$  與  $E(Q_{n,m}|c_3)$  之大小關係。

【引理 3\_12】 
$$n,m \in \mathbb{N}$$
 ,  $n \ge 5$  ,  $m \ge 4$  
$$E(Q_{n,m} | \ell_{m-1}) \le E(Q_{n,m} | c_3)$$

#### <證明>

$$\begin{split} & :: E(Q_{n,m} | \ell_{m-1}) \geq E^*(C_n) + \frac{1}{2} (E^*(L_{m-1}) + E^*(L_m)) - \frac{1}{16} P_m P_{n-2} \\ & E(Q_{n,m} | c_3) \geq E^*(C_n) + \frac{1}{2} (E^*(L_{m-1}) + E^*(L_m)) \\ & + \frac{1}{2} (\frac{1}{2} P_{n-1} (\frac{1}{2} (E^*(L_m) - E^*(L_{m-1})) + (E^*(L_{m+1}) - E^*(L_{m+2}) + \frac{1}{2})) + \frac{1}{2} P_{n-2} (E^*(L_{m+1}) - E^*(L_{m+2}) + \frac{1}{2})) \\ & :: E(Q_{n,m} | \ell_{m-1}) - E(Q_{n,m} | c_3) = -\frac{1}{16} P_m P_{n-2} - \frac{1}{2} (\frac{1}{2} P_{n-1} (\frac{1}{2} (E^*(L_m) - E^*(L_{m-1})) \\ & + (E^*(L_{m+1}) - E^*(L_{m+2}) + \frac{1}{2})) + \frac{1}{2} P_{n-2} (E^*(L_{m+1}) - E^*(L_{m+2}) + \frac{1}{2})) \\ & = -\frac{1}{16} P_m P_{n-2} - \frac{1}{2} (\frac{1}{2} P_{n-1} (\frac{1}{4} (1 + \frac{1}{2} P_{m-2} - P_m) + \frac{1}{2} P_{n-2} (-\frac{1}{4} P_m)) \quad \text{(} \\ & : E(Q_{n,m} | c_3) \end{split}$$

【引理 3\_13】 
$$n, m \in \mathbb{N}$$
 ,  $n \ge 5$  ,  $m \ge 4$ 

$$E(Q_{n,m} | \ell_{m-1}) \le E(Q_{n,m} | \ell_k) \qquad (1 \le k \le m)$$

#### < 證明 >

$$E(Q_{n,m} | \ell_{m-1}) \ge E^*(C_n) + \frac{1}{2} (E^*(L_{m-1}) + E^*(L_m)) - \frac{1}{16} P_m P_{n-2}$$

### $1^{\circ}$ k=1

$$E(Q_{n,m} | \ell_1) \ge 1 + \frac{1}{2} (E^*(L_{n-1}) + E^*(C_n)) + \frac{1}{2} (E^*(L_{m-2}) + E^*(L_{m-1}))$$

由【定理 2\_4】知, 
$$E^*(C_n) = E^*(L_n) - \frac{1}{8}P_{n-3} - \frac{1}{4}P_{n-2} - \frac{1}{8}P_{n-1}$$

$$\therefore E(Q_{nm}|\ell_{m-1}) - E(Q_{nm}|\ell_1)$$

$$\begin{split} &=\frac{1}{2}(E^*(L_n)-E^*(L_{n-1}))+\frac{1}{2}(E^*(L_m)-E^*(L_{m-2}))-\frac{1}{16}P_{n-3}-\frac{1}{8}P_{n-2}-\frac{1}{16}P_{n-1}-1-\frac{1}{16}P_mP_{n-2}\\ &=\frac{1}{2}(\frac{1}{2}+\frac{1}{4}P_{n-2})+\frac{1}{2}(\frac{3}{2}-\frac{1}{4}P_{m-2}-\frac{1}{2}P_{m-1})-\frac{1}{16}P_{n-3}-\frac{1}{8}P_{n-2}-\frac{1}{16}P_{n-1}-1-\frac{1}{16}P_mP_{n-2} \end{split}$$

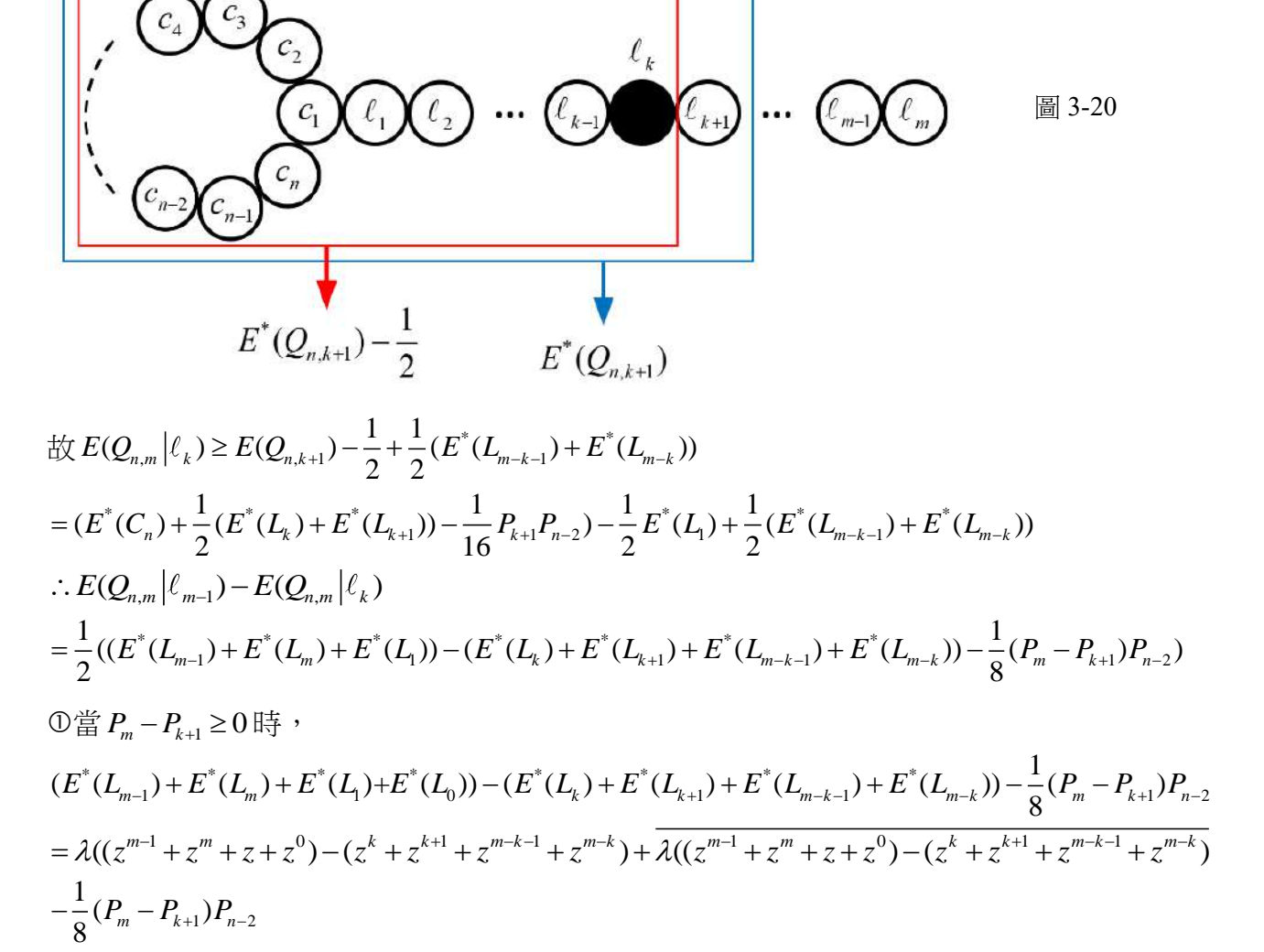
(由【引理3\_3】及【引理3\_6】)

$$= -\frac{1}{16}(P_{n-3} + P_{n-1}) - \frac{1}{8}(P_{m-2} + 2P_{m-1}) - \frac{1}{16}P_{m}P_{n-2} \le 0 \implies E(Q_{n,m} | \ell_{m-1}) \le E(Q_{n,m} | \ell_{1})$$

# $2^{\circ}$ k=2

## $3^{\circ}$ $k \ge 3$

若圖形 $Q_{n,m}$ 以圓圈 $l_k$ 當第一個塗點,如下圖 3-20:



$$= \lambda(1+z)(1-z^k)(1-z^{m-k-1}) + \overline{\lambda(1+z)(1-z^k)(1-z^{m-k-1})} - \frac{1}{8}(P_m - P_{k+1})P_{n-2}$$

$$= 2\operatorname{Re}(\lambda(1+z)(1-z^k)(1-z^{m-k-1})) - \frac{1}{8}(P_m - P_{k+1})P_{n-2}$$
由【定理 1\_2】(3) 之證明知,  $2\operatorname{Re}(\lambda(1+z)(1-z^k)(1-z^{m-k-1})) \le 0$ ,故 
$$(E^*(L_{m-1}) + E^*(L_m) + E^*(L_1)) - (E^*(L_k) + E^*(L_{k+1}) + E^*(L_{m-k-1}) + E^*(L_{m-k})) - \frac{1}{8}(P_m - P_{k+1})P_{n-2} \le 0$$
 ②當  $P_m - P_{k+1} < 0$  時, 由【引理 3\_5】(3) 之證明知, 
$$(E^*(L_{m-1}) + E^*(L_m) + E^*(L_1)) - (E^*(L_k) + E^*(L_{k+1}) + E^*(L_{m-k-1}) + E^*(L_{m-k})) - \frac{1}{8}(P_m - P_{k+1}) \le 0$$
 又由【性質 1\_1】知,  $0 < P_{n-2} \le \frac{1}{2}$ ,故 
$$(E^*(L_{m-1}) + E^*(L_m) + E^*(L_n) + E^*(L_1)) - (E^*(L_k) + E^*(L_{k+1}) + E^*(L_{m-k-1}) + E^*(L_{m-k})) - \frac{1}{8}(P_m - P_{k+1})P_{n-2} \le 0$$

綜合 $1^{\circ}$ 、 $2^{\circ}$ 及 $3^{\circ}$ ,可得 $E(Q_{n,m} \big| \ell_{m-1}) \leq E(Q_{n,m} \big| \ell_{k})$ 

### 由【**引理 3\_12**】及【**引理 3\_13**】,可得到【**定理 3\_5**】。

【定理 3\_5】 
$$n, m \in \mathbb{N}$$
 ,  $n \ge 5$  ,  $m \ge 4$ 

$$E^*(Q_{n,m}) = E(Q_{n,m} | \ell_{m-1}) = E^*(C_n) + \frac{1}{2} (E^*(L_{m-1}) + E^*(L_m)) - \frac{1}{16} P_m P_{n-2}$$

### 綜合【**定理 3\_2**】、【**定理 3\_3**】、【**定理 3\_4**】、【**定理 3\_5**】,我們得到如下表 3-2 之結果:

圖形	最優化塗色方法之 第一個塗點位置	指定塗色次數期望值
$Q_{n,1}$ $(n \ge 5)$	圓圈 c <sub>1</sub>	$E^*(C_n) + \frac{1}{2}$
$Q_{n,2}  (n \ge 5)$	n=5 圓圈 $c_1 \cdot c_3$ $n \neq 5$ 圓圈 $c_3$	$E^*(C_{n+1}) + \frac{5}{8}$
$Q_{n,3}  (n \ge 5)$	圓圈 $c_1$ 、圓圈 $\ell_2$	$E^*(C_n) + \frac{7}{4}$
$Q_{n,1}  (n \ge 5, m \ge 4)$	圓圈 $\ell_{m-1}$	$E^*(C_n) + \frac{1}{2}(E^*(L_{m-1}) + E^*(L_m)) - \frac{1}{16}P_mP_{n-2}$

### (三) 圖形 $Q_{n,m}$ 之生成函數

1. 若將  $E^*(Q_{4,1})$ 、  $E^*(Q_{5,1})$  、  $E^*(Q_{6,1})$  、  $E^*(Q_{7,1})$  、  $E^*(Q_{8,1})$  、  $E^*(Q_{9,1})$  … 之值視為數列  $< e_n >_4^\infty = < 3, \frac{57}{16}, \frac{67}{16}, \frac{153}{32}, \frac{43}{8}, \frac{383}{64}, \dots >$  ,考慮生成函數時,增加  $e_0 = e_1 = e_2 = e_3 = 0$  ,形成數 列  $< e_n >_0^\infty = < 0, 0, 0, 0, 3, \frac{57}{16}, \frac{67}{16}, \frac{153}{32}, \frac{43}{8}, \frac{383}{64}, \dots >$  ,關於數列  $< e_n >_4^\infty$  ,  $r_1(x) = \sum_{k=0}^\infty e_k x^k$  稱為  $< e_n >_4^\infty$  的一般生成函數。

### 【定理36】 n≥4

若函數  $r_1(x)$  為  $E^*(Q_{n,1})$  的生成函數,則  $r_1(x) = \frac{-19x^7 - 14x^6 + 9x^5 + 48x^4}{8(x-1)^2(x^2 + 2x + 2)}$ 。

#### <證明>

2. 若將 
$$E^*(Q_{4,2})$$
、 $E^*(Q_{5,2})$ 、 $E^*(Q_{6,2})$ 、 $E^*(Q_{7,2})$ 、 $E^*(Q_{8,2})$ 、 $E^*(Q_{9,2})$ …之值視為數列  $< u_n >_4^\infty = < \frac{59}{16}, \frac{69}{16}, \frac{157}{32}, \frac{11}{2}, \frac{391}{64}, \frac{429}{64}, \dots >$ ,考慮生成函數時,增加 $u_0 = u_1 = u_2 = u_3 = 0$ ,形 成數列  $< u_n >_0^\infty = < 0, 0, 0, 0, \frac{59}{16}, \frac{69}{16}, \frac{157}{32}, \frac{11}{2}, \frac{391}{64}, \frac{429}{64}, \dots >$ ,關於數列  $< u_n >_4^\infty$ ,  $r_2(x) = \sum_{k=0}^\infty u_k x^k$  稱為  $< u_n >_4^\infty$  的一般生成函數。

### 【定理 3\_7】 n≥4

若函數 
$$r_2(x)$$
 為  $E^*(Q_{n,2})$  的生成函數,則  $r_2(x) = \frac{-25x^7 - 20x^6 + 10x^5 + 59x^4}{8(x-1)^2(x^2+2x+2)}$ 。

<證明>

3. 若將  $E^*(Q_{4,3})$  、  $E^*(Q_{5,3})$  、  $E^*(Q_{6,3})$  、  $E^*(Q_{7,3})$  、  $E^*(Q_{8,3})$  、  $E^*(Q_{9,3})$  … 之值視為數列  $< v_n >_4^\infty = < \frac{17}{4}, \frac{77}{16}, \frac{87}{16}, \frac{193}{32}, \frac{53}{8}, \frac{463}{64}, \dots >$  ,考慮生成函數時,增加  $v_0 = v_1 = v_2 = v_3 = 0$  ,形成 數列  $< v_n >_0^\infty = < 0,0,0,0, \frac{17}{4}, \frac{77}{16}, \frac{87}{16}, \frac{193}{32}, \frac{53}{8}, \frac{463}{64}, \dots >$  ,關於數列  $< v_n >_4^\infty$  ,  $r_3(x) = \sum_{k=0}^\infty v_k x^k$  稱為  $< v_n >_4^\infty$  的一般生成函數。

### 【定理38】 n≥4

若函數 
$$r_3(x)$$
 為  $E^*(Q_{n,3})$  的生成函數,則  $r_3(x) = \frac{-29x^7 - 24x^6 + 9x^5 + 68x^4}{8(x-1)^2(x^2 + 2x + 2)}$ 。

#### < 辯明>

$$\therefore E^{*}(Q_{n,3}) = E^{*}(C_{n}) + \frac{7}{4}$$

$$\Leftrightarrow v_{k} = b_{k} + \frac{7}{4} (k \ge 4) \stackrel{!}{=} v_{0} = v_{1} = v_{2} = v_{3} = 0$$

$$\stackrel{!}{=} k = 0 , b_{0} + \frac{7}{4} = \frac{7}{4} ; \stackrel{!}{=} k = 1 , b_{1} + \frac{7}{4} = \frac{11}{4} ; \stackrel{!}{=} k = 2 , b_{2} + \frac{7}{4} = \frac{13}{4} ; \stackrel{!}{=} k = 3 , b_{3} + \frac{7}{4} = \frac{29}{8}$$

$$\therefore r_{3}(x) = \sum_{k=0}^{\infty} v_{k} x^{k} = \sum_{k=0}^{\infty} b_{k} x^{k} + \frac{7}{4} \sum_{k=0}^{\infty} x^{k} - \frac{7}{4} - \frac{11}{4} x - \frac{13}{4} x^{2} - \frac{29}{8} x^{3}$$

$$= g(x) + \frac{7}{4(1-x)} - \frac{7}{4} - \frac{11}{4}x - \frac{13}{4}x^2 - \frac{29}{8}x^3$$

$$= \frac{x^6 + x^5 - x^4 - x^3 + 4x^2 + 8x}{4(x-1)^2(x^2 + 2x + 2)} + \frac{7}{4(1-x)} - \frac{7}{4} - \frac{11}{4}x - \frac{13}{4}x^2 - \frac{29}{8}x^3 \quad (\text{in } \mathbb{Z} 2)$$

$$= \frac{-29x^7 - 24x^6 + 9x^5 + 68x^4}{8(x-1)^2(x^2 + 2x + 2)}$$

# 肆、研究結果

# 一、圖形 $L_n$ 、 $C_n$ 之最優化塗色方法及指定塗色次數期望值之最小值與生成函數:

圖形	最優化塗色方法 之第一個塗點位 置	指定塗色次數期望值之最小值	指定塗色次數期望值之最 小值的生成函數
$L_n$	圓圈ℓ <sub>1</sub> (n=1) 圓圈ℓ <sub>2</sub> (n≥2) (見【定理1_2】、 【定理1_3】)	$\frac{7}{25} + \frac{3}{5}n + \lambda z^{n} + \overline{\lambda z^{n}}$ (其中 $\lambda = \frac{-7+i}{50}$ , $z = \frac{-1+i}{2}$ ) (見【定理 1_1】)	$\frac{x^2 + 2x}{(x-1)^2(x^2 + 2x + 2)}$ (見【定理 1_4】)
$C_n$	任一圓圈 $c_k$ (1 ≤ $k$ ≤ $n$ )	$\frac{2}{25} + \frac{3}{5}n + \frac{1}{4}(\lambda(z+1)^2 z^{n-3} + \overline{\lambda(z+1)^2 z^{n-3}})$ (其中 $\lambda = \frac{-7+i}{50}$ , $z = \frac{-1+i}{2}$ ) (見【定理 2_1】)	$\frac{x^6 + x^5 - x^4 - x^3 + 4x^2 + 8x}{4(x-1)^2(x^2 + 2x + 2)}$ (見【定理 2_2】)

### 二、 $E^*(L_n)$ 與 $E^*(C_n)$ 的一般項(n值模 8 之同餘類):

### (見【推論1\_1】、【推論2\_1】)

	$\overline{E}^*(L_n)$	$E^*(C_n)$
$n=1 \pmod{8}$	$\frac{7}{25} + \frac{3}{5}n + \frac{3}{25}\left(\frac{1}{\sqrt{2}}\right)^{n-1}$	$\frac{2}{25} + \frac{3}{5}n + \frac{7}{50\sqrt{2}} \left(\frac{1}{\sqrt{2}}\right)^n$
$n=2 \pmod{8}$	$\frac{7}{25} + \frac{3}{5}n + \frac{\sqrt{2}}{50} \left(\frac{1}{\sqrt{2}}\right)^{n-1}$	$\frac{2}{25} + \frac{3}{5}n - \frac{3}{50}(\frac{1}{\sqrt{2}})^n$

$n=3 \pmod{8}$	$\frac{7}{25} + \frac{3}{5}n - \frac{4}{25}\left(\frac{1}{\sqrt{2}}\right)^{n-1}$	$\frac{2}{25} + \frac{3}{5}n - \frac{1}{50\sqrt{2}} \left(\frac{1}{\sqrt{2}}\right)^n$
$n=4 \pmod{8}$	$\frac{7}{25} + \frac{3}{5}n + \frac{7\sqrt{2}}{50} \left(\frac{1}{\sqrt{2}}\right)^{n-1}$	$\frac{2}{25} + \frac{3}{5}n + \frac{2}{25}(\frac{1}{\sqrt{2}})^n$
$n=5 \pmod{8}$	$\frac{7}{25} + \frac{3}{5}n - \frac{3}{25}\left(\frac{1}{\sqrt{2}}\right)^{n-1}$	$\frac{2}{25} + \frac{3}{5}n - \frac{7}{50\sqrt{2}} \left(\frac{1}{\sqrt{2}}\right)^n$
$n = 6 \pmod{8}$	$\frac{7}{25} + \frac{3}{5}n - \frac{\sqrt{2}}{50} \left(\frac{1}{\sqrt{2}}\right)^{n-1}$	$\frac{2}{25} + \frac{3}{5}n + \frac{3}{50}(\frac{1}{\sqrt{2}})^n$
$n=7 \pmod{8}$	$\frac{7}{25} + \frac{3}{5}n + \frac{4}{25}\left(\frac{1}{\sqrt{2}}\right)^{n-1}$	$\frac{2}{25} + \frac{3}{5}n + \frac{1}{50\sqrt{2}} \left(\frac{1}{\sqrt{2}}\right)^n$
$n=0 \pmod{8}$	$\frac{7}{25} + \frac{3}{5}n - \frac{7\sqrt{2}}{50} \left(\frac{1}{\sqrt{2}}\right)^{n-1}$	$\frac{2}{25} + \frac{3}{5}n - \frac{2}{25}(\frac{1}{\sqrt{2}})^n$

三、圖形 $L_n$ 之最優化塗色方法中,存在相鄰兩個未被塗色圓圈狀態下,圓圈 $\ell_k$ 被選取當塗點的機率 $P_k$ :

1. 
$$P_k = \frac{2}{5} + \delta z^k + \overline{\delta z^k}$$
 (其中  $\delta = \frac{-1+3i}{5}$ ,  $z = \frac{-1+i}{2}$ ) (見【定理 1\_5】)

2. 圓圈 $\ell_2$ 被選取當塗點的機率為 1,其餘各圓圈被選取當塗點的機率介於  $0 \sim \frac{1}{2}$ 。其中以圓圈  $\ell_4 \sim \ell_5 \sim \ell_7$ 的機率最大,為  $\frac{1}{2}$ ;圓圈 $\ell_1 \sim \ell_3$ 的機率最小,為 0。 (見【性質  $1\_1$ 】)

四、 $E^*(L_n)$ 與 $E^*(C_n)$ 之關係:

1. 
$$E^*(C_n) = 1 + \frac{1}{4}E^*(L_{n-3}) + \frac{1}{2}E^*(L_{n-2}) + \frac{1}{4}E^*(L_{n-1})$$
 (見【定理 2\_1】)

2. 
$$E^*(C_n) = E^*(L_n) - \frac{1}{8}(P_{n-3} + 2P_{n-2} + P_{n-1})$$
 (見【定理 2\_4】)

3. 隨著
$$n$$
值增加, $E^*(C_n)$ 與 $E^*(L_n)$ 之差值趨近於 $\frac{1}{5}$ 。 (見【推論 2\_2】)

五、圖形 $L_n$ 與 $C_n$ 中各圓圈指定塗色次數期望值:

- 1.  $L_n$ 中圓圈 $\ell_2$ 的塗色次數為 1 次,其餘各圓圈塗色平均次數介於 $\frac{1}{4}$ 次~ $\frac{3}{4}$ 次。其中以圓圈 $\ell_4$ 最多,為 $\frac{3}{4}$ 次;圓圈 $\ell_3$ 最少,為 $\frac{1}{4}$ 次。 (見【**性質 1\_2**】)
- 2.  $C_n$ 中圓圈  $c_2 \sim c_n$  的指定塗色次數期望值與  $L_n$  中圓圈  $\ell_2 \sim \ell_n$  的指定塗色次數期望值皆相同,僅  $c_1$  與  $\ell_1$  不同,兩者關係如下:

(1) 
$$E(c_k) = E(\ell_k)$$
 (2 ≤  $k \le n$ ) (2)  $E(c_1) = E(\ell_1) - \frac{1}{8} (P_{n-3} + 2P_{n-2} + P_{n-1})$  (見【定理 2\_3】)

 $\dot{\gamma}$ 、圖形 $Q_{n,m}$ 之最優化塗色方法及指定塗色次數期望值之最小值與生成函數:

圖形	最優化塗色 方法之第一個 塗點位置	指定塗色次數期望值	指定塗色次數期望值之 最小值的生成函數
$Q_{n,1}$	$n=4$ 圓圈 $c_1 \cdot c_3$	$E^*(C_n) + \frac{1}{2}$	$\frac{-19x^7 - 14x^6 + 9x^5 + 48x^4}{8(x-1)^2(x^2 + 2x + 2)}$
( <i>n</i> ≥ 4)	n>4 圓圈 c <sub>1</sub>	(見【定理 3_2】)	(見【定理3_6】)
$Q_{n,2}$ $(n \ge 4)$	$n=5$ 圓圈 $c_1 \cdot c_3$	$E^*(C_{n+1}) + \frac{5}{8}$	$\frac{-25x^7 - 20x^6 + 10x^5 + 59x^4}{8(x-1)^2(x^2 + 2x + 2)}$
	n≠5 圓圈c <sub>3</sub>	(見 <b>【定理3_3】</b> )	(見 <b>【定理3_7】</b> )
$Q_{n,3}$ $(n \ge 4)$	$n=4$ 圓圈 $c_1 \cdot c_3 \cdot$ 圓圈 $\ell_2$	$E^*(C_n) + \frac{7}{4}$	$\frac{-29x^7 - 24x^6 + 9x^5 + 68x^4}{8(x-1)^2(x^2 + 2x + 2)}$
	$n > 4$ 圓圈 $c_1 \cdot \ell_2$	(見【定理 3_4】)	(見【定理3_8】)
$Q_{n,m}$ $(n,m \ge 4)$	$n=4$ 圓圈 $c_3 \cdot \ell_{m-1}$	$\frac{1}{4}E^*(L_{m+1}) + \frac{3}{4}E^*(L_{m+2}) + \frac{9}{8}$ (見【定理 3_1】)	
	n > 4 圓圈 ℓ <sub>m-1</sub>	$E^*(C_n) + \frac{1}{2}(E^*(L_{m-1}) + E^*(L_m)) - \frac{1}{16}P_mP_{n-2}$ (見【定理 3_5】)	

# 伍、結論

#### 一、結論

本研究在探討「n個圓圈直線排列(圖形 $L_n$ )、環狀排列(圖形 $C_n$ )及n個圓圈與m個圓圈環狀結合直線排列(圖形 $Q_{n,m}$ )之最優化的塗色方法及其指定塗色次數的期望值。」我們先由圖形的結構,找出各圖形之指定塗色次數期望值的遞迴關係式,進而求出生成函數及特徵方

程式,由此推導出一般解。

藉由一般解,配合複數的代數運算及幾何性質,先找出圖形 $L_n$ 之最優化塗色方法,且同時發現圖形 $L_n$ 、 $C_n$ 之最優化塗色方法具有一致性,並進一步比較兩者間的異同之處。之後更發現圖形 $Q_{n,m}$ 之最優化塗色方法會隨著n值、m值的不同而有不同的塗色方法之有趣現象。

#### 二、未來展望

我們已經成功解決n個圓圈以一維排列所構成的相關圖形之最優化的塗色方法及其指定塗色次數的期望值等相關問題,未來可朝2n個圓圈以 $2\times n$ 的二維陣列排法所構成的圖形之最優化的塗色方法而努力。

# 陸、參考文獻

- 一、游森棚(2021)。森棚教官數學題:三歲的小畫家。國立台灣科學教育館 科學研習 第 60 卷第 6 期。取自:
  - https://www.ntsec.edu.tw/liveSupply/detail.aspx?a=6829&cat=6842&p=1&lid=17594
- 二、張福春、莊淨惠(2010)。線性遞迴關係之求解(下)。數學傳播 34 卷 1 期 pp.35-57。取 自:https://www.math.sinica.edu.tw/media/pdf/d341/34104.pdf
- 三、張福春、曾介玫(2008)。一般生成函數之應用。數學傳播 32 卷 3 期 pp.12-35。取自:https://www.math.sinica.edu.tw/media/pdf/d323/32302.pdf

# 【評語】010002

本作品的設定如下,給定一排未重合之圓圈,隨機選一個圓圈 著色,接著設定其兩側的圓圈都各有 0.5 的機率被著色,重複以上 法則,問將全部的圓圈都著色所需次數的期望值。作者得出此問題 的解析解,也給出該解所對應的生成函數,內容充實,值得佳許。